

LATITUDE INTEGRATION IDCO-SPEZIFIKATION

LATITUDE™ NXT

LATITUDE NXT Patienten-Management-System

Outdated version. Do not use.
Version überholt. Nicht verwenden.
Version obsolète. Ne pas utiliser.
Versión obsoleta. No utilizar.
Versione obsoleta. Non utilizzare.
Verouderde versie. Niet gebruiken.
Föråldrad version. Använd ej.
Παλιά έκδοση. Μην την χρησιμοποιείτε.
Versão obsoleta. Não utilize.
Forældet version. Må ikke anvendes.
Zastaralá verzia. Nepoužívať.
Utdatert versjon. Skal ikke brukes.
Zastaraná verzia. Nepoužívať.
Elavult verzió. Ne használja!
Wersja nieaktualna. Nie używać.

Outdated version. Do not use.
Version überholt. Nicht verwenden.
Version obsolète. Ne pas utiliser.
Versión obsoleta. No utilizar.
Versione obsoleta. Non utilizzate.
Verouderde versie. Niet gebruiken.
Föråldrad version. Använd ej.
Παλιά έκδοση. Μην την χρησιμοποιείτε.
Versão obsoleta. Não utilize.
Forældet version. Må ikke anvendes.
Zastaralá verze. Nepoužívat.
Utdatert versjon. Skal ikke brukes.
Zastaraná verzia. Nepoužívať.
Elavult verzió. Ne használja!
Wersja nieaktualna. Nie używać.

ÜBERBLICK

Das LATITUDE-Patientenfernüberwachungssystem von Boston Scientific erstellt IDCO (Implantable Device – Cardiac – Observation) Nachrichten gemäß den in diesem Dokument dargelegten Spezifikationen und Definitionen. Die Nachrichten sind mit dem Integrating the Healthcare Enterprise (IHE) Patient Care Device (PCD) Technical Framework IDCO-Profil konform. Diese Nachrichten dienen zur Übermittlung von Patientendaten an ein elektronisches Krankenaktensystem (EMR-System) oder ein klinisches Informationssystem (CIS).

Das vorliegende Dokument ist für LATITUDE-Kunden von Boston Scientific (BSC) bestimmt, die (1) IDCO-Nachrichten in ein EMR-System integrieren und (2) EMR- oder CIS-Systeme zur Nachverfolgung und Verwaltung von Patientendaten verwenden. Der erste Abschnitt dieses Dokuments („LATITUDE IDCO-Nachrichtenspezifikation“) richtet sich primär an technisches Personal, das für Nachrichtenintegration zuständig ist, während der zweite Abschnitt hauptsächlich die Boston Scientific-Version der in der Nachricht enthaltenen Daten für klinische Anwender verdeutlichen soll.

HINWEISE: Es wird vorausgesetzt, dass die Leser dieses Abschnitts mit der HL7- und IDCO-Terminologie, Spezifikationssyntax, Datentypen, Nachrichtenstrukturen und Semantik für IDCO-Nachrichten vertraut sind. Weitere Informationen finden Sie unter:

- www.hl7.org für HL7-Nachrichtenübermittlung
- www.ihe.net für IDCO-Nachrichtenübermittlung
- http://ihe.net/Technical_Framework/index.cfm#pcd für PCD-09 Technical Framework (besteht aus Vol. 1, 2 und 3)
- <http://standards.ieee.org/findstds/standard/11073-10103-2012.html> für IEEE IDCO-Nomenklatur

Outdated version. Do not use.
Version überholt. Nicht verwenden.
Version obsolète. Ne pas utiliser.
Versión obsoleta. No utilizar.
Versione obsoleta. Non utilizzare.
Verouderde versie. Niet gebruiken.
Föråldrad version. Använd ej.
Παλιά έκδοση. Μην την χρησιμοποιείτε.
Versão obsoleta. Não utilize.
Forældet version. Må ikke anvendes.
Zastaralá verze. Nepoužívat.
Utdatert versjon. Skal ikke brukes.
Zastaraná verzia. Nepoužívať.
Elavult verzió. Ne használja!
Wersja nieaktualna. Nie używać.

INHALTSVERZEICHNIS

LATITUDE IDCO-NACHRICHTENSPEZIFIKATION.....1-1 **KAPITEL 1**

Latitude Nachrichtenspezifikation	1-2
Segmentstruktur	1-2
MSH-Segmentstruktur	1-2
PID-Segmentstruktur	1-2
Standardmäßige IDCO-Patienten-ID (erste ID in der Liste)	1-2
Latitude-Patienten-ID (zweite ID in der Liste)	1-2
PV1-Segmentstruktur	1-3
PV2-Segmentstruktur	1-3
OBR-Segmentstruktur	1-3
OBX-Segmentstruktur	1-3
Ausgabeparameter	1-4
NTE-Segmentstruktur	1-4
Berichte	1-4
Eingangs-EGM-Bericht	1-4
Kombinierter Nachkontrollbericht	1-4
Bericht Arrhythmie-Logbuch	1-4
HF PERSPECTIV™ Bericht	1-5
Berichtsnamen in der Meldung	1-5
Grundlegende Begriffe	1-5

KONVERTIERUNG DER DATEN VON IMPLANTIERTEN GERÄTEN ZU IDCO-NACHRICHTEN.....2-1 **KAPITEL 2**

Batteriestatus	2-2
SET_BRADY_SENSOR_TYPE	2-2
Episoden-Mapping	2-2
Zähler-Mapping	2-3
Elektrodenkonfiguration-Mapping	2-4
Systemeinschränkungen	2-5
Definitionen für Alarme und Warnungen	2-6
Berichte	2-6

IDCO-BEISPIELDATEIEN.....3-1 **KAPITEL 3**

IDCO-Beispieldateien	3-2
----------------------------	-----

Beispiel-Nachricht 1 — S-ICD-Gerät.....	3-2
Beispiel-Nachricht 2 — Andere Geräte (Nicht S-ICD).....	3-4
VERWENDETE SYMBOLE AUF ETIKETTEN	A-1
ANHANG A	

Outdated version. Do not use.
Version überholt. Nicht verwenden.
Version obsolète. Ne pas utiliser.
Versión obsoleta. No utilizar.
Versione obsoleta. Non utilizzare.
Verouderde versie. Niet gebruiken.
Föråldrad version. Använd ej.
Παλιά έκδοση. Μην την χρησιμοποιείτε.
Versão obsoleta. Não utilize.
Förældet version. Må ikke anvendes.
Zastaralá verze. Nepoužívat.
Utdatert versjon. Skal ikke brukes.
Zastaraná verzia. Nepoužívať.
Elavult verzió. Ne használja!
Wersja nieaktualna. Nie używać.

LATITUDE IDCO-NACHRICHTENSPEZIFIKATION

KAPITEL 1

Dieses Kapitel enthält die folgenden Themen:

- “Latitude Nachrichtenspezifikation” auf Seite 1-2
- “Segmentstruktur” auf Seite 1-2
- “MSH-Segmentstruktur” auf Seite 1-2
- “PID-Segmentstruktur” auf Seite 1-2
- “PV1-Segmentstruktur” auf Seite 1-3
- “PV2-Segmentstruktur” auf Seite 1-3
- “OBR-Segmentstruktur” auf Seite 1-3
- “OBX-Segmentstruktur” auf Seite 1-3
- “Ausgabeparameter” auf Seite 1-4
- “NTE-Segmentstruktur” auf Seite 1-4
- “Berichte” auf Seite 1-4
- “Grundlegende Begriffe” auf Seite 1-5

LATITUDE NACHRICHTENSPEZIFIKATION

Die LATITUDE IDCO-Nachricht ist eine PCD-09-Nachricht für IHE PCD Technical Framework Revision 3.0, 11. Oktober 2013. Für Technical Framework ist die Nachricht eine Standard-HL7 v2.6-Nachricht mit unangeforderten Bestellungen und Untersuchungen, die vom implantierten Gerät durchgeführte Untersuchungen enthält und mit der ISO/IEEE 11073-10103:2014 IDC-Nomenklatur codiert wurde. Dieser internationale Standard beschreibt ein universelles Modell für die Kompatibilität elektronischer medizinischer Daten.

Werte, die in den nachfolgenden Tabellen in Anführungszeichen gesetzt sind, sind fest codiert und erscheinen immer wie dargestellt. Werte ohne Anführungszeichen stellen entweder ein Beispiel oder eine Beschreibung des Werts dar.

SEGMENTSTRUKTUR

Alle gesendeten Daten gelten für PCD-09. Die in diesem Abschnitt enthaltenen Informationen sollen die BSC-Ausgabe für IDCO-Nachrichten definieren. Diese Informationen sind nicht vollständig, und dienen nicht dazu, die IDCO-Nomenklatur näher zu definieren.

MSH-SEGMENTSTRUKTUR

Das MSH-Segment enthält Informationen über den Sender und Empfänger der Nachricht, den Nachrichtentyp, einen Zeitstempel usw. und ist das erste Segment der IDCO-Nachricht.

NAME DES ELEMENTS	SEQ	SUB SEQ	WERT
Sendende Anwendung	3		„LATITUDE“
Sendende Einrichtung	4		„BOSTON SCIENTIFIC“
Empfangende Einrichtung	6		LATITUDE Krankenhausname
Zeichensatz	18		„UNICODE UTF-8“

PID-SEGMENTSTRUKTUR

Das PID-Segment enthält Daten zur Patientenidentifizierung wie Name, ID-Code, Postleitzahl usw. Diese Informationen werden für den Patientenabgleich verwendet.

LATITUDE ermöglicht es Krankenhäusern, (optional) ihre eigenen Patienten-IDs in das LATITUDE-System einzugeben. Die exportierte IDCO-Nachricht enthält die optionale Patienten-ID. Bei Verwendung erscheint diese krankenhausesdefinierte Patienten-ID in der Patientenkenntnisliste (Sequenz 3) als Text nach dem Tildezeichen (~).

Standardmäßige IDCO-Patienten-ID (erste ID in der Liste)

NAME DES ELEMENTS	SEQ	SUB SEQ	WERT
Patienten-ID	3		
Berechtigung zuweisen	3	4	„BSX“

Latitude-Patienten-ID (zweite ID in der Liste)

NAME DES ELEMENTS	SEQ	SUB SEQ	WERT
Patienten-ID-Liste	3		
ID-Nummer	3	1	LATITUDE-Patienten-ID
Berechtigung zuweisen	3	4	LATITUDE Krankenhausname
Code des ID-Typs	3	5	„U“

Beispiel:

```
PID|1|model:N119/serial:123456^^^BSX^U~{LATITUDE Patienten-ID} ^^  
{LATITUDE Krankenhausname}^U||PatientLastName^Vorname des Patienten  
^^^^^|19550116|U|...
```

PV1-SEGMENTSTRUKTUR

Das PV1-(Patientenbesuch-)Segment enthält Informationen zum behandelnden Arzt des Patienten.

NAME DES ELEMENTS	SEQ	SUB SEQ	WERT
Patientenklasse	2		„R“

PV2-SEGMENTSTRUKTUR

Das PV2-(Patientenbesuch 2-) Segment enthält Informationen zur LATITUDE-Gruppe des Patienten.

NAME DES ELEMENTS	SEQ	SUB SEQ	WERT
Name der Organisation (Gruppe)	23	1	LATITUDE-Gruppenname Beispiel: Kardiologie
ID-Nummer (primäre oder sekundäre Patientengruppe)		3	1 Siehe Hinweis a

a. Dieser Wert ist „1“, wenn die HL7-Datei mit der primären LATITUDE-Gruppe verknüpft ist, und „2“, wenn sie mit der sekundären LATITUDE-Gruppe verknüpft ist.

OBR-SEGMENTSTRUKTUR

OBR-Segmente sind die Abschnittsüberschriften für einzelne OBX-Abfrageinformationssegmente. Sie enthalten Daten wie Zeitstempel, Berichtkennung und eine einzigartige systemgenerierte Kennung.

NAME DES ELEMENTS	SEQ	SUB SEQ	BEISPIELWERT
Universelle Servicekennung	4		
Kennung		1	754053
Text		2	Siehe Hinweis a
Datum/Uhrzeit der Untersuchung Nr.	7		20060429080005+0000 Siehe Hinweis b
Ergebnisstatus	25		„F“ Siehe Hinweis c

- a. Der Text der universellen Servicekennung hat das Format MDC_IDC_ENUM_SESS_TYPE_{Sitzungstyp} (z. B. MDC_IDC_ENUM_SESS_TYPE_RemoteScheduled).
- b. „Datum/Uhrzeit der Untersuchung“ zeigt den Zeitstempel der Abfrage des implantierten Aggregats an. Der Zeitstempel befindet sich in der Zeitzone, die für den Patienten eingerichtet wurde.
- c. Der Ergebnisstatus lautet „F“ (Endergebnisse).

OBX-SEGMENTSTRUKTUR

OBX-Segmente enthalten Daten, die während der letzten Geräteabfrage gesammelt wurden.

NAME DES ELEMENTS	SEQ	SUB SEQ	WERT
Status des Untersuchungsergebnisses	11		„F“ Siehe Hinweis a
Datum/Uhrzeit der Untersuchung	14		20060317170000+0000 Siehe Hinweis b

- a. Der Ergebnisstatus lautet „F“ (Endergebnisse).
b. Das Datum der Messung wird angegeben, wenn das Messungsdatum vom Untersuchungsdatum im OBR abweicht.

AUSGABEPARAMETER

- Die Zeichenfolgen werden in der Sprache gesendet, die für die Klinik in LATITUDE konfiguriert wurde.
- Zahlenwerte werden immer mit dem Punkt „.“ als Radixpunkt (Dezimalpunkt) gesendet.

NTE-SEGMENTSTRUKTUR

- S-ICD-Geräte

- Das erste NTE enthält Informationen zu den Einstellungen im Format *Etikett:Wert*, wobei jede Einstellung durch einen Zeilenumbruch getrennt ist (\.br). Beispiel:

```
NTE|1||Detektionskonfiguration: Primär\.br\Verstärkungseinstellung:
2X\.br\ Post Shock Pacing: ON
```

- Wenn Gerätestatusinformationen vorhanden sind, sind alle Gerätestatus im zweiten NTE enthalten. Beispiel:

```
NTE|2||Sofortige Maßnahme am Gerät erforderlich.\.br\\.br\Wenden Sie sich
an Boston Scientific - BD.\.br\\.br\USA: 1.800.CARDIAC (227.3422) oder
+1.651.582.4000\.br\Europa, Naher Osten, Afrika: +32 2 416 7222\.br\
Asien-Pazifik: +61 2 8063 8299
```

- Alle anderen Geräte

- Wenn ein Alarm vorhanden ist, gibt es ein NTE für jeden Alarm.

- Wenn eine Warnung vorhanden ist, wird ein Warnungs-NTE einem oder mehreren Alarm-NTEs vorangestellt. Ein Warnungs-NTE enthält eine oder mehrere Warnungen in einem NTE.

BERICHTE

Eingangs-EGM-Bericht

Wenn der Eingangs-EGM-Bericht in den vom PG erhaltenen Nutzdaten enthalten ist, wird dieser Bericht als PDF-Datei an die Nachricht angehängt und mithilfe der Gruppen-ID (OBX-4) für die APMRT-Episode mit dieser APMRT-Episode verknüpft.

Kombinierter Nachkontrollbericht

Ein „Kombinierter Nachkontrollbericht“ ist als PDF-Datei in einem separaten OBX an die Nachricht angehängt.

Bericht Arrhythmie-Logbuch

Ein „Arrhythmie-Logbuch“ ist als PDF-Datei in einem separaten OBX an die Nachricht angehängt.

HF PERSPECTIV™ Bericht

Ein HF PERSPECTIV™ Bericht ist als PDF-Datei in einem separaten OBX an die Nachricht angehängt.

Berichtsnamen in der Meldung

Jedes OBX-Segment enthält den Berichtsnamen in OBX-3.5. Beispiel:

```
OBX|51|ED|18750-0^Kardialer elektrophysiologischer Bericht^LN^^
Kombinierter Nachkontrollbericht||Anwendung^PDF^^Base64^{base 64
kodierte PDF hier}|...
```

GRUNDLEGENDE BEGRIFFE

In der nachfolgenden Tabelle sind die Nomenklatur-Begriffe aufgeführt, die in einer BSC IDCO-Nachricht enthalten sein können.

Referenz-ID	Anzeigengename
PREPEND MDC_IDC_DEV	Implantierbares kardiales Gerät
_TYPE	Implantierbares kardiales Gerät – Typ
_MODEL	Implantierbares kardiales Gerät – Modell
_SERIAL	Implantierbares kardiales Gerät – Seriennummer
_MFG	Implantierbares kardiales Gerät – Hersteller
_IMPLANT_DT	Implantierbares kardiales Gerät – Implantationsdatum
PREPEND MDC_IDC_LEAD	Implantierbare Elektrode – Attribute
_MODEL	Implantierbare Elektrode – Modell
_SERIAL	Implantierbare Elektrode – Seriennummer
_MFG	Implantierbare Elektrode – Hersteller
_IMPLANT_DT	Implantierbare Elektrode – Implantationsdatum
_POLARITY_TYPE	Implantierbare Elektrode – Polaritätstyp
_LOCATION	Implantierbare Elektrode – Position
_LOCATION_DETAIL_1	Implantierbare Elektrode – Position Detail 1
PREPEND MDC_IDC_SESS	Abfragesitzung
_DTM	Abfragesitzung – Datum/Uhrzeit
_TYPE	Abfragesitzung – Typ
_CLINIC_NAME	Krankenhausname
PREPEND MDC_IDC_MSMT	Messungen
_BATTERY	Batteriemessungen
_DTM	Batterie – Datum und Uhrzeit der Messungen
_STATUS	Batteriestatus
_REMAINING_LONGEVITY	Batterie – Verbleibende Funktionsdauer
_REMAINING_PERCENTAGE	Batterie – Verbleibender Prozentsatz

_CAP	Kondensator – Messungen
_CHARGE_DTM	Kondensator – Datum/Uhrzeit der letzten Ladung
_CHARGE_TIME	Kondensator – Ladezeit
_CHARGE_TYPE	Kondensator – Ladetyp
_CHARGE_ENERGY	Ladeenergie
LEADCHNL[CHAMBER]	Elektrodenkanal – Messungen
DTM[STRTEND]	Elektrodenkanal – Datum und Uhrzeit der Messungen
_LEAD_CHANNEL_STATUS	Elektrodenkanal – Status
LEADCHNL[CHAMBER]_SENSING	Elektrodenkanal – Detektionsmesswerte
_INTR_AMPL_[MMM]	Elektrodenkanal – Detektion intrinsische Amplitude
_POLARITY	Elektrodenkanal – Detektionspolarität
LEADCHNL[CHAMBER]_PACING_THRESHOLD	Elektrodenkanal – Messungen Stimulationsreizschwelle
_AMPLITUDE	Elektrodenkanal – Amplitude Stimulationsreizschwelle
_PULSEWIDTH	Elektrodenkanal – Reizschwellen-Impulsdauer Stimulation
MEASUREMENT_METHOD	Elektrodenkanal – Messmethode Stimulationsreizschwelle
_POLARITY	Elektrodenkanal – Polarität Stimulationsreizschwelle
LEADCHNL[CHAMBER]_IMPEDANCE	Elektrodenkanal – Impedanzmessungen
_VALUE	Elektrodenkanal – Impedanzwert
_POLARITY	Elektrodenkanal – Impedanzpolarität
_LEADHVCHNL	Hochspannung-Elektrodenkanal – Messungen
DTM[STRTEND]	Hochspannung-Elektrodenkanal – Datum/Uhrzeit
_IMPEDANCE	Hochspannung-Elektrodenkanal – Impedanz
_MEASUREMENT_TYPE	Hochspannung-Elektrodenkanal – Messungstyp
_STATUS	Hochspannung-Elektrodenkanal – Status
PREPEND MDC_IDC_SET	Einstellungen
_CRT	CRT-Einstellungen
_LVRV_DELAY	CRT LV-RV-Verzögerung
_PACED_CHAMBERS	Ventrikuläre Kammern, die während der CRT-Stimulation stimuliert werden
LEADCHNL[CHAMBER]	Elektrodenkanal-Einstellungen
LEADCHNL[CHAMBER]_SENSING	Elektrodenkanal-Einstellungen – Detektion
_SENSITIVITY	Elektrodenkanal-Einstellung Detektion – Empfindlichkeit
_POLARITY	Elektrodenkanal-Einstellung Detektion – Polarität

_ANODE_LOCATION_[1..3]	Elektrodenkanal-Einstellung Detektion – Anodenposition
_ANODE_ELECTRODE_[1..3]	Elektrodenkanal-Einstellung Detektion – Anodenterminal
_CATHODE_LOCATION_[1..3]	Elektrodenkanal-Einstellung Detektion – Kathodenposition
_CATHODE_ELECTRODE_[1..3]	Elektrodenkanal-Einstellung Detektion – Kathodenterminal
_ADAPTATION_MODE	Elektrodenkanal-Einstellung Detektion – Adaptionsmodus
LEADCHNL[CHAMBER]_PACING	Elektrodenkanaleinstellungen – Stimulation
_AMPLITUDE	Elektrodenkanaleinstellung Stimulation – Amplitude
_PULSEWIDTH	Elektrodenkanaleinstellung Stimulation – Impulsdauer
_POLARITY	Elektrodenkanaleinstellung Stimulation – Polarität
_ANODE_LOCATION_[1..3]	Elektrodenkanaleinstellung Stimulation – Anodenposition
_ANODE_ELECTRODE_[1..3]	Elektrodenkanaleinstellung Stimulation – Anodenterminal
_CATHODE_LOCATION_[1..3]	Elektrodenkanaleinstellung Stimulation – Kathodenposition
_CATHODE_ELECTRODE_[1..3]	Elektrodenkanaleinstellung Stimulation – Kathodenterminal
_CAPTURE_MODE	Elektrodenkanaleinstellung Stimulation – Erfassungsmodus
BRADY	Brady-Einstellungen
_MODE	Brady-Einstellungsmodus (NBG-Code)
_LOWRATE	Brady-Einstellung – Untere Grenzfrequenz
_SENSOR_TYPE	Brady-Einstellung – Sensortyp
_MAX_TRACKING_RATE	Brady-Einstellung – Maximale Trackingfrequenz
_MAX_SENSOR_RATE	Brady-Einstellung – Maximale Sensorfrequenz
_SAV_DELAY_[HIGHLOW]	Brady-Einstellung – SAV-Verzögerung
_PAV_DELAY_[HIGHLOW]	Brady-Einstellung – PAV-Verzögerung
_AT_MODE_SWITCH_MODE	Brady-Einstellung – Umschaltmodus AT-Modus
_AT_MODE_SWITCH_RATE	Brady-Einstellung – Umschaltfrequenz AT-Modus
_TACHYTHERAPY	Tachy-Therapie-Einstellungen
_VSTAT	Tachy-Therapie-Einstellungen – Ventrikulärer Status
_ZONE	Zoneneinstellungen
_TYPE	Zoneneinstellung – Typkategorie
_VENDOR_TYPE	Zoneneinstellung – Händlertyp-Kategorie
_STATUS	Zoneneinstellung – Status
_DETECTION_INTERVAL	Zoneneinstellung – Detektionsintervall
_DETECTION_DETAILS	Atriale Detektionsdetails
_TYPE_ATP_[1..10]	Zoneneinstellung – ATP-Typ

_NUM_ATP_SEQS_[1..10]	Zoneneinstellung – Anzahl von ATP-Sequenzen
_SHOCK_ENERGY_[1..10]	Zoneneinstellung – Schockenergie
_NUM_SHOCKS_[1..10]	Zoneneinstellung – Anzahl von Schocks
PREPEND MDC_IDC_STAT	Statistiken
DTM[STRTEEND]	Statistik – Datum/Uhrzeit
_BRADY	Brady-Statistiken
DTM[STRTEEND]	Brady-Statistik – Datum/Uhrzeit
_RA_PERCENT_PACED	Brady Statistik – RA-Prozent stimuliert
_RV_PERCENT_PACED	Brady Statistik – RV-Prozent stimuliert
_AT	„Atrial Tachy“-Statistik
DTM[STRTEEND]	„Atrial Tachy“-Statistik – Datum/Uhrzeit
_BURDEN_PERCENT	„Atrial Tachy“-Statistik – AT/AF Burden in Prozent
_CRT	CRT-Statistiken
DTM[STRTEEND]	CRT-Statistik – Datum/Uhrzeit
_LV_PERCENT_PACED	CRT-Statistik – LV-Prozent stimuliert
_TACHYTHERAPY	Tachy-Therapie-Statistiken
_SHOCKS_DELIVERED_RECENT	Letzte abgegebene Schocks
_RECENT_DTM_[STRTEEND]	Letztes Datum/letzte Uhrzeit
_SHOCKS_DELIVERED_TOTAL	Insgesamt abgegebene Schocks
_TOTAL_DTM_[STRTEEND]	Datum/Uhrzeit gesamt
_SHOCKS_ABORTED_RECENT	Letzte abgebrochene Schocks
_SHOCKS_ABORTED_TOTAL	Abgebrochene Schocks gesamt
_ATP_DELIVERED_RECENT	Letzte ATP abgegeben
_ATP_DELIVERED_TOTAL	ATP abgegeben gesamt
_EPISODE	Statistik Episode
_TYPE	Statistik Episode – Kategorietyt
_TYPE_INDUCED	Statistik Episode – Typ induziert
_VENDOR_TYPE	Statistik Episode – Kategorie Händlertyp
_RECENT_COUNT	Statistik Episode – Letzte Zählung
_RECENT_COUNT_DTM_[STRTEEND]	Statistik Episode – Letztes Datum/letzte Uhrzeit
_TOTAL ZÄHLER	Gesamtzahl
_TOTAL_COUNT_DTM_[STRTEEND]	Datum/Uhrzeit gesamt
PREPEND MDC_IDC_EPISODE	Episode

_ID	Episode – Kennung
_DTM	Episode – Datum/Uhrzeit
_TYPE	Episodentyp – Kategorie
_TYPE_INDUCED	Episodentyp – Induziert-Markierung
_VENDOR_TYPE	Episode – Kategorie Händlertyp
_ATRIAL_INTERVAL_AT_DETECTION	Episode – Detektionsintervall Atrial
_VENTRICULAR_INTERVAL_AT_DETECTION	Episode – Detektionsintervall Ventrikulär
_DETECTION_THERAPY_DETAILS	Episode – Details zu Detektion und Therapie
_DURATION	Episode – Dauer

Outdated version. Do not use.
 Version überholt. Nicht verwenden.
 Version obsolete. Ne pas utiliser.
 Versión obsoleta. No utilizar.
 Versione obsolete. Non utilizzare.
 Verouderde versie. Niet gebruiken.
 Föråldrad version. Använd ej.
 Παλιά έκδοση. Μην την χρησιμοποιείτε.
 Versão obsoleta. Não utilize.
 Forældet version. Må ikke anvendes.
 Zastaralá verze. Nepoužívat.
 Utdatert versjon. Skal ikke brukes.
 Zastaraná verzia. Nepoužívať.
 Elavult verzió. Ne használja!
 Wersja nieaktualna. Nie używać.

Outdated version. Do not use.
Version überholt. Nicht verwenden.
Version obsolète. Ne pas utiliser.
Versión obsoleta. No utilizar.
Versione obsoleta. Non utilizzare.
Verouderde versie. Niet gebruiken.
Föråldrad version. Använd ej.
Παλιά έκδοση. Μην την χρησιμοποιείτε.
Versão obsoleta. Não utilize.
Forældet version. Må ikke anvendes.
Zastaralá verze. Nepoužívat.
Utdatert versjon. Skal ikke brukes.
Zastaraná verzia. Nepoužívať.
Elavult verzió. Ne használja!
Wersja nieaktualna. Nie używać.

KONVERTIERUNG DER DATEN VON IMPLANTIERTEN GERÄTEN ZU IDCO-NACHRICHTEN

KAPITEL 2

Dieses Kapitel enthält die folgenden Themen:

- “Batteriestatus” auf Seite 2-2
- “SET_BRADY_SENSOR_TYPE” auf Seite 2-2
- “Episoden-Mapping” auf Seite 2-2
- “Zähler-Mapping” auf Seite 2-3
- “Elektrodenkonfiguration-Mapping” auf Seite 2-4
- “Systemeinschränkungen” auf Seite 2-5
- “Definitionen für Alarme und Warnungen” auf Seite 2-6
- “Berichte” auf Seite 2-6

Outdated version. Do not use.
Version überholt. Nicht verwenden.
Version obsolete. Ne pas utiliser.
Versión obsoleta. No utilizar.
Versione obsoleta. Non utilizzare.
Verouderde versie. Niet gebruiken.
Föråldrad version. Använd ej.
Παλιά έκδοση. Μην την χρησιμοποιείτε.
Versão obsoleta. Não utilize.
Forældet version. Skal ikke anvendes.
Zastaralá verze. Nepoužívat.
Utdatert versjon. Må ikke anvendes.
Zastaraná verzia. Nepoužívať.
Elavult verzió. Ne használja!
Wersja nieaktualna. Nie używać.

BATTERIESTATUS

Die aufgeführten Batterieparameter werden folgendermaßen dem BSC-Batteriestatus zugeordnet:

BSC-BATTERIESTATUS (S-ICD-Geräte)	BSC-BATTERIESTATUS (Alle weiteren Geräte)	IDCO-BATTERIESTATUS
>10 % verbleibend für ERI	BOL	BOS
<= 10 % verbleibend für ERI	OY	MOS
ERI	ERI	RRT
EOL	EOL	EOS

Wenn ein implantiertes Gerät eingeschränkte Telemetrie erreicht, könnte der Batteriestatus entweder ERI oder EOL lauten. Beide Batteriestatus führen zu folgender Nachricht: ENUM_BATTERY_STATUS_RRT (ERI) in MSMT_BATTERY_STATUS mit dem ERI-Zeitstempel in MSMT_BATTERY_DTM. Dieser Zustand gilt nur für eingeschränkte Telemetrie und gilt nicht für S-ICD-Geräte.

SET_BRADY_SENSOR_TYPE

Der Sensortyp wird gesendet, wie in der nachfolgenden Tabelle dargestellt.

GESENDER WERT FÜR SET_BRADY_SENSOR_TYPE VARIABLE BASIERT AUF DER EINSTELLUNG DES IMPLANTIERTEN GERÄTS	EINSTELLUNG IMPLANTIERTES GERÄT
„Akzelerometer“	Nur Akzelerometer
„Atem-Minuten-Volumen“	Nur AMV
„Akzelerometer + AMV“	Akzelerometer und AMV

Die obigen Werte werden nur gesendet, wenn die Frequenz vom Sensor gesteuert werden kann (d. h. sie werden nicht gesendet, wenn sich der Sensor in einem reinen Überwachungsstatus befindet).

Die obigen Werte werden nur gesendet, wenn die Frequenz im normalen Brady-Modus oder in ATR gesteuert werden kann (d. h. der Wert gibt nicht einfach nur den normalen Brady-Modus wieder).

Beachten Sie, dass „Nur ATR“ in Berichten angezeigt werden kann, wenn der ATR-Modus ein Modus mit Frequenzanpassung ist; der normale Brady-Modus bietet keine Frequenzanpassung. In diesem Fall wird der Text (z. B. „Akzelerometer“) weiterhin für den ATR-Modus gesendet. Der Benutzer kann den Brady-Modus und den ATR-Modus prüfen und festlegen, dass die Frequenzanpassung nur für ATR gilt.

EPISODEN-MAPPING

Episoden, Zähler usw. werden relativ zu den Informationen gesendet, die in der Abfrage enthalten sind. Dieselben Informationen werden zu Anfang und in einer nachfolgenden erneuten Sendung gesendet, auch wenn eine Abfrage dazwischen liegt. Beachten Sie, dass die EMR-Ausgabe nicht immer mit der Anzeige im Bericht „Quick Notes“ übereinstimmt, da in den „Quick Notes“ die Episoden, Alarme und Zähler seit dem letzten Reset angezeigt werden. Episoden werden in einer Kombination von normativen und händlerspezifischen Typen dargestellt. Einige Episodentypen bei Boston Scientific können nicht eindeutig in der aktuellen IDCO-Nomenklatur dargestellt werden.

BSC-EPISODEN-ID	BSC-EPISODENTYP	NORMATIVER IDCO-EPISODENTYP	HÄNDLERSPEZIFISCHER IDCO-EPISODENTYP
V-x	VF	VF	BSX-Zone_VF
V-x	VT	VT	BSX-Epis_VT
V-x	VT (V>A)	VT	BSX-Epis_VT
V-x	Tachy	Für SSI-Geräte, wenn sich die Elektrode im folgenden Status befindet: <ul style="list-style-type: none"> V – VT A – AT/AF Unspezifiziert – VT 	Leer
V-x	NonSust	Für SSI-Geräte, wenn sich die Elektrode im folgenden Status befindet: <ul style="list-style-type: none"> V_c – VT A – AT/AF Unspezifiziert – VT 	Wenn A, leer sonst BSX-Epis_NSVT
V-x	SVT (V≤A)	SVT	BSX-Zone_SVT
V-x	VT-1	VT	BSX-Epis_VT-1
RMS-x	RMS	Andere	BSX-Epis_RMS
RYTHMIQ™-x	RYTHMIQ™	Andere	BSX-Epis_RMS
ATR-x	ATR	ATAF	BSX-Epis_ATR
PMT-x	PMT	Andere	BSX-Epis_PMT
SBR-x	SBR	Andere	Keine
PTM-x	PTM	Patient aktiviert	BSX-Epis_PTM
V-x	Bef.V	Andere	Keine
V-x	NonSustV	VT	BSX-Epis_NSVT
APMRT-x	APM RT	Periodisches EGM	BSX-Epis_APMRT
RVAT-x	RV Autom.	Andere	Keine
RAAT-x	RA Auto	Andere	Keine
LVAT-x	LV Auto	Andere	Keine
MRI-x	MRT	Andere	Keine
<Episodennummer>	Behandelt	VF	BSX-Zone_VF
<Episodennummer>	Unbehandelt	Andere	Siehe Hinweis a

a. Der händlerspezifische Episodentyp OBX ist in der Nachricht mit einem leeren Untersuchungswert enthalten.

ZÄHLER-MAPPING

Einige Zähler werden zusammengefasst, bevor die Nachricht gesendet wird. Dies liegt daran, dass die Boston Scientific-Zähler derzeit nicht eindeutig in der aktuellen IDCO-Nomenklatur dargestellt werden können: Die gesendeten Zählerwerte sind die seit dem letztem Reset.

BSC-EPIODENZÄHLER	STATISTISCHER NORMATIVER IDCO-EPIODENTYP	STATISTISCHER HÄNDLERSPEZIFISCHER IDCO-EPIODENTYP
Behandelt	VF	BSX-Epis_VF
Unbehandelt	Andere	Siehe Hinweis a
VT (V>A)	VT	BSX-Epis_VT
Tachy	VT	BSX-Epis_VT
NonSust	VT	BSX-Epis_NSVT
NonSustV	VT	BSX-Epis_NSVT
SVT (V ≤ A)	SVT	BSX-Epis_SVT
ATR	AT/AF	BSX-Epis_ATR
MRT	Andere	Siehe Hinweis a
VF	VF	BSX-Epis_VF
VT	VT	BSX-Epis_VT
VT-1	VT	BSX-Epis_VT-1
Bef.	Andere	Siehe Hinweis a
Keine Therapie programmiert	Überwachungsgerät	Siehe Hinweis a
Andere nicht behandelte	Andere	Siehe Hinweis a
RMS	Andere	BSX-Epis_RMS
RHYTHMIQ™	Andere	BSX-Epis_RMS
PMT	Andere	BSX-Epis_PMT
SBR	Andere	Siehe Hinweis a
PTM	Patient aktiviert	BSX-Epis_PTM
APM RT	Periodisches EGM	BSX-Epis_APMRT
RA Auto	Andere	Siehe Hinweis a
RV Autom	Andere	Siehe Hinweis a
LV Auto	Andere	Siehe Hinweis a

a. Der händlerspezifische Zählerstat. OBX ist in der Nachricht mit einem leeren Untersuchungswert enthalten.

ELEKTRODENKONFIGURATION-MAPPING

In der nachfolgenden Tabelle wird dargestellt, wie mehrere Elektrodenpole bei IDCO und BSC definiert werden. Diese Tabelle soll nicht vollständig sein, sondern enthält nur Aufzählungen, die möglicherweise nicht allgemein bekannt sind.

Die von BSC verwendeten Definitionen wurden so gewählt, dass sie mit dem Programmer Recorder Monitor (PRM) und der LATITUDE-Website konsistent sind.

BSC-ELECTRODENNAME	POSITION IDCO-ELEKTRODE	IDCO-ELECTRODENNAME
Gehäuse	Andere	Gehäuse

LVTip1	LV	Spitze
LVRing2	LV	Ring1
LVRing3	LV	Ring2
LVRing4	LV	Ring3

MDC_IDC_ENUM_ELECTRODE_LOCATION(Stimulation/Detektionsanode/Kathodenposition) enthält derzeit keine Aufzählung für die Tasche (d. h. Gehäuse). Die Position wird als „Sonstige“ und die Elektrode als „Gehäuse“ gesendet.

Der Status „Elektrode überprüfen“ gibt ein mögliches Problem mit der Elektrode an; wenn kein Status „Elektrode überprüfen“ angezeigt wird, bedeutet das nicht, dass die Elektrode ordnungsgemäß arbeitet. Der Status „Elektrode prüfen“ wird gesendet, wenn eine der folgenden Statusanzeigen vorhanden ist:

- S-ICD-Geräte
 - Hohe Elektroden-Impedanz
- Alle anderen Geräte
 - Sicherheitsumschaltung
 - Impedanz außerhalb der Grenzwerte
 - Amplitude außerhalb der Grenzwerte
 - Niedrige Schock-Impedanz
 - Hohe Schock-Impedanz
 - Hochspannung während des Ladens

Für MSMT_LEADCHNL_[CHAMBER] (d. h. Elektrodenkanalmessungen wie intrinsische Amplitude, Elektrodenimpedanz, Stimulationsreizschwelle) ist nur ein Zeitstempelbereich für alle Messungen in der aktuellen IDCO-Nomenklatur möglich (d. h. nicht ein Bereich pro Messung). Wenn die Messzeiten unterschiedlich sind, wird ein Zeitstempelbereich gesendet (d. h. MIN, MAX), der die Uhrzeit aller drei Messungen einschließt. Weiterhin sind die gesendeten Werte ein IDCO MEAN-Wert für die IDCO-Nomenklatur. Die Werte sind jedoch einzelne Messungen und keine Mittelwerte des Zeitstempelbereichs.

SYSTEMEINSCHRÄNKUNGEN

- Die Tachy-spezifische und kammer-spezifische Ausgabe ist so spezifisch wie möglich. In einigen Fällen wird durch die Wichtigkeit der Daten und die Tatsache, dass IDCO bestimmte Parameter nicht darstellen kann, sichergestellt, dass die Daten gesendet werden. So werden beispielsweise Informationen zur VT-Zone gesendet, als ob Brady-Geräte über eine VT-Zone verfügten.
- Bei Geräten, die über keine automatische Stimulations-Reizschwelle verfügen (Automatische Reizschwellenfunktion) wird die letzte Stimulationsreizschwellenmessung gesendet.
- Die korrekte Weitergabe von Daten und Alarm-Meldungen implantierter Geräte durch das LATITUDE NXT-System hängt davon ab, ob der Zeitgeber des implantierten Geräts richtig mit einem PRM (Programmier-/Aufzeichnungs-/Überwachungsgerät) programmiert wurde. Die korrekte Weitergabe kann auch noch einige Zeit gestört sein, nachdem der implantierte Zeitgeber des Geräts richtig programmiert wurde. Dies hängt davon ab, welche Menge an Daten mit falscher Zeitangabe empfangen wurden und wie groß die Zeitdifferenz durch den Fehler ist.
- Die Zeichenfolgen werden in der Sprache gesendet, die für die Klinik in LATITUDE konfiguriert wurde.

DEFINITIONEN FÜR ALARME UND WARNUNGEN

Warnungen und Alarm-Meldungen werden als Hinweise in die Nachrichten aufgenommen, die möglicherweise in einem EMR angezeigt werden. Eine Warnung oder ein Alarm wird in die Nachricht aufgenommen, wenn die Daten, die vom PG hochgeladen wurden, die Warnung oder den Alarm gesteuert haben.

BERICHTE

Eingangs-EGM-Bericht

Wenn der Eingangs-EGM-Bericht in den vom PG erhaltenen Nutzdaten enthalten ist, wird dieser Bericht als PDF-Datei an die Nachricht angehängt und mithilfe der Gruppen-ID (OBX-4) für die APMRT-Episode mit dieser APMRT-Episode verknüpft.

Kombinierter Nachsorgebericht

Ein „Kombinierter Nachsorgebericht“ ist als PDF-Datei an die Nachricht angehängt.

Bericht Arrhythmie-Logbuch

Ein „Arrhythmie-Logbuch“ ist als PDF-Datei in einem separaten OBX an die Nachricht angehängt.

HF PERSPECTIV™ Bericht

Ein HF PERSPECTIV™ Bericht ist als PDF-Datei in einem separaten OBX an die Nachricht angehängt.

IDCO-BEISPIELDATEIEN

KAPITEL 3

Dieses Kapitel enthält die folgenden Themen:

- “IDCO-Beispieldateien” auf Seite 3-2
- “Beispiel-Nachricht 1 — S-ICD-Gerät” auf Seite 3-2
- “Beispiel-Nachricht 2 — Andere Geräte (Nicht S-ICD)” auf Seite 3-4

Outdated version. Do not use.
Version überholt. Nicht verwenden.
Version obsolete. Ne pas utiliser.
Versión obsoleta. No utilizar.
Versione obsoleta. Non utilizzate.
Verouderde versie. Niet gebruiken.
Föråldrad version. Använd ej.
Παλιά έκδοση. Μην την χρησιμοποιείτε.
Versão obsoleta. Não utilize.
Förældet versjon. Må ikke anvendes.
Zastaralá verze. Nepoužívat.
Utdatert versjon. Skal ikke brukes.
Zastaraná verzia. Nepoužívať.
Elavult verzió. Ne használja!
Wersja nieaktualna. Nie używać.

IDCO-BEISPIELDATEIEN

Die folgenden IDCO-Beispieldateien zeigen, wie die LATITUDE-IDCO-Nachricht aussehen kann. Diese sind nur zwei Beispiele von vielen möglichen Formen. Die Daten in den Beispielnachrichten sind hypothetisch, und es sind nicht alle LATITUDE-IDCO-Begriffe dargestellt.

BEISPIEL-NACHRICHT 1 — S-ICD-GERÄT

```
MSH|^~\&|LATITUDE|BOSTON SCIENTIFIC||TestClinic|201502111522+0000||ORU^R01^ORU_R01  
|0|P|2.6|||||UNICODE UTF-8|de^German||IHE_PCD_009^IHE_PCD  
^1.3.6.1.4.1.19376.1.6.1.9.1^ISO  
PID|1||model:A209/serial:668155243^^^BSX^U~testPatientId^^^TestClinic^U||  
testLastName^testName^^^^^I~testAuxLName^testAuxFName^^^^^P||19680215|UPV1  
|1|RPV2|||||||||||||||||||||TestDeviceGroup^^1  
OBR|1||1000000017|754054^MDC_IDC_ENUM_SESS_TYPE_RemotePatientInitiated^MDC|||  
201501260412-0600|||||||||FNTE|1||Wahrnehmungskonfiguration:  
Alternativ\br\Verstärkungseinstellung: Ix\br\Post-Schock-Stimulation:  
ONNTE|2||Jan 26, 2015 11:07 EST - Alarmstufe Gelb - Unbehandelte Episode.  
NTE|3||Jan 26, 2015 11:04 EST - Alarmstufe Gelb - Schocktherapie abgegeben,  
um Arrhythmie zu beenden (behandelte Episode).  
OBX|1|CWE|720897^MDC_IDC_DEV_TYPE^MDC||753666^MDC_IDC_ENUM_DEV_TYPE_  
ICD^MDC|||||F  
OBX|2|ST|720898^MDC_IDC_DEV_MODEL^MDC||A209|||||F  
OBX|3|ST|720899^MDC_IDC_DEV_SERIAL^MDC||668155243|||||F  
OBX|4|CWE|720900^MDC_IDC_DEV_MFG^MDC||753732^MDC_IDC_ENUM_MFG_  
BSX^MDC|||||F  
OBX|5|DTM|720901^MDC_IDC_DEV_IMPLANT_DT^MDC||20150126|||||F  
OBX|6|DTM|721025^MDC_IDC_SESS_DTM^MDC||201501260412-0600|||||F  
OBX|7|CWE|721026^MDC_IDC_SESS_TYPE^MDC||754054^MDC_IDC_ENUM_SESS_  
TYPE_RemotePatientInitiated^MDC|||||F  
OBX|8|ST|721033^MDC_IDC_SESS_CLINIC_NAME^MDC||TestClinic|||||F  
OBX|9|DTM|721216^MDC_IDC_MSMT_BATTERY_DTM^MDC||201501260412-0600|||||F  
OBX|10|CWE|721280^MDC_IDC_MSMT_BATTERY_STATUS^MDC||754113^MDC_IDC_ENUM_  
BATTERY_STATUS_BOS^MDC|||||F  
OBX|11|NM|721536^MDC_IDC_MSMT_BATTERY_REMAINING_PERCENTAGE^MDC||98|||||F  
OBX|12|ST|739536^MDC_IDC_EPISODE_ID^MDC||1002|||||F  
OBX|13|DTM|739552^MDC_IDC_EPISODE_DTM^MDC||1|201501261107-0500|||||F  
OBX|14|CWE|739568^MDC_IDC_EPISODE_TYPE^MDC||754888^MDC_IDC_ENUM_EPISODE_  
TYPE_Epis_Other^MDC|||||F  
OBX|15|CWE|739600^MDC_IDC_EPISODE_VENDOR_TYPE^MDC||1|||||F  
OBX|16|CWE|739584^MDC_IDC_EPISODE_TYPE_INDUCED^MDC||755330^MDC_IDC_ENUM_  
EPISODE_TYPE_INDUCED_NO^MDC|||||F  
OBX|17|NM|739712^MDC_IDC_EPISODE_DURATION^MDC||1|39|s|||||F  
OBX|18|ST|739680^MDC_IDC_EPISODE_DETECTION_THERAPY_DETAILS^MDC||1|  
Unbehandelt Episode|||||F  
OBX|19|ST|739536^MDC_IDC_EPISODE_ID^MDC||2|001|||||F  
OBX|20|DTM|739552^MDC_IDC_EPISODE_DTM^MDC||2|201501261104-0500|||||F  
OBX|21|CWE|739568^MDC_IDC_EPISODE_TYPE^MDC||2|754881^MDC_IDC_ENUM_EPISODE_  
TYPE_Epis_VF^MDC|||||F  
OBX|22|CWE|739600^MDC_IDC_EPISODE_VENDOR_TYPE^MDC||2|771073^MDC_IDC_ENUM_  
EPISODE_VENDOR_TYPE_BSX-Epis_VF^MDC|||||F  
OBX|23|CWE|739584^MDC_IDC_EPISODE_TYPE_INDUCED^MDC||2|755330^MDC_IDC_ENUM_  
EPISODE_TYPE_INDUCED_NO^MDC|||||F  
OBX|24|NM|739712^MDC_IDC_EPISODE_DURATION^MDC||2|43|s|||||F  
OBX|25|ST|739680^MDC_IDC_EPISODE_DETECTION_THERAPY_DETAILS^MDC||2|Behandelt  
Episode: Schock-Impedanz=77 Ohms, Letzte Schockpolarität=REV|||||F  
OBX|26|CWE|731520^MDC_IDC_SET_TACHYTHERAPY_VSTAT^MDC||754817^MDC_IDC_ENUM_  
THERAPY_STATUS_On^MDC|||||F
```


OBX|27|CWE|731648^MDC_IDC_SET_ZONE_TYPE^MDC|1|754945^MDC_IDC_ENUM_ZONE_TYPE_Zone_VF^MDC|||||F

OBX|28|CWE|731712^MDC_IDC_SET_ZONE_VENDOR_TYPE^MDC|1|771139^MDC_IDC_ENUM_ZONE_VENDOR_TYPE_BSX-Zone_VF^MDC|||||F

OBX|29|CWE|731776^MDC_IDC_SET_ZONE_STATUS^MDC|1|755009^MDC_IDC_ENUM_ZONE_STATUS_Active^MDC|||||F

OBX|30|NM|731840^MDC_IDC_SET_ZONE_DETECTION_INTERVAL^MDC|1|273|ms|||||F

OBX|31|NM|732225^MDC_IDC_SET_ZONE_SHOCK_ENERGY_1^MDC|1|80|J|||||F

OBX|32|CWE|731648^MDC_IDC_SET_ZONE_TYPE^MDC|1|754946^MDC_IDC_ENUM_ZONE_TYPE_Zone_VT^MDC|||||F

OBX|33|CWE|731712^MDC_IDC_SET_ZONE_VENDOR_TYPE^MDC|2|771137^MDC_IDC_ENUM_ZONE_VENDOR_TYPE_BSX-Zone_VT^MDC|||||F

OBX|34|CWE|731776^MDC_IDC_SET_ZONE_STATUS^MDC|2|755009^MDC_IDC_ENUM_ZONE_STATUS_Active^MDC|||||F

OBX|35|NM|731840^MDC_IDC_SET_ZONE_DETECTION_INTERVAL^MDC|2|300|ms|||||F

OBX|36|ST|732032^MDC_IDC_SET_ZONE_DETECTION_DETAILS^MDC|2|SMART-Charge: 204,69 s (133 Intervalle)|||||F

OBX|37|NM|732225^MDC_IDC_SET_ZONE_SHOCK_ENERGY_1^MDC|2|80|J|||||F

OBX|38|CWE|737952^MDC_IDC_STAT_EPISODE_TYPE^MDC|1|754888^MDC_IDC_ENUM_EPISODE_TYPE_Epis_Other^MDC|||||F

OBX|39|CWE|737984^MDC_IDC_STAT_EPISODE_VENDOR_TYPE^MDC|1|||||F

OBX|40|NM|738000^MDC_IDC_STAT_EPISODE_RECENT_COUNT^MDC|1|1|||||F

OBX|41|DTM|738017^MDC_IDC_STAT_EPISODE_RECENT_COUNT_DTM_START^MDC|1|20150126|||||F

OBX|42|DTM|738018^MDC_IDC_STAT_EPISODE_RECENT_COUNT_DTM_END^MDC|1|20150126|||||F

OBX|43|NM|738032^MDC_IDC_STAT_EPISODE_TOTAL_COUNT^MDC|1|1|||||F

OBX|44|DTM|738049^MDC_IDC_STAT_EPISODE_TOTAL_COUNT_DTM_START^MDC|1|20150126|||||F

OBX|45|DTM|738050^MDC_IDC_STAT_EPISODE_TOTAL_COUNT_DTM_END^MDC|1|20150126|||||F

OBX|46|CWE|737952^MDC_IDC_STAT_EPISODE_TYPE^MDC|2|754881^MDC_IDC_ENUM_EPISODE_TYPE_Epis_VF^MDC|||||F

OBX|47|CWE|737984^MDC_IDC_STAT_EPISODE_VENDOR_TYPE^MDC|2|771073^MDC_IDC_ENUM_EPISODE_VENDOR_TYPE_BSX-Epis_VF^MDC|||||F

OBX|48|NM|738000^MDC_IDC_STAT_EPISODE_RECENT_COUNT^MDC|2|1|||||F

OBX|49|DTM|738017^MDC_IDC_STAT_EPISODE_RECENT_COUNT_DTM_START^MDC|2|20150126|||||F

OBX|50|DTM|738018^MDC_IDC_STAT_EPISODE_RECENT_COUNT_DTM_END^MDC|2|20150126|||||F

OBX|51|NM|738032^MDC_IDC_STAT_EPISODE_TOTAL_COUNT^MDC|2|1|||||F

OBX|52|DTM|738049^MDC_IDC_STAT_EPISODE_TOTAL_COUNT_DTM_START^MDC|2|20150126|||||F

OBX|53|DTM|738050^MDC_IDC_STAT_EPISODE_TOTAL_COUNT_DTM_END^MDC|2|20150126|||||F

OBX|54|DTM|737937^MDC_IDC_STAT_TACHYTHERAPY_RECENT_DTM_START^MDC||20150126|||||F

OBX|55|DTM|737938^MDC_IDC_STAT_TACHYTHERAPY_RECENT_DTM_END^MDC||20150126|||||F

OBX|56|NM|737824^MDC_IDC_STAT_TACHYTHERAPY_SHOCKS_DELIVERED_RECENT^MDC||1|||||F

OBX|57|DTM|737921^MDC_IDC_STAT_TACHYTHERAPY_TOTAL_DTM_START^MDC||20150126|||||F

OBX|58|DTM|737922^MDC_IDC_STAT_TACHYTHERAPY_TOTAL_DTM_END^MDC||20150126|||||F

OBX|59|NM|737840^MDC_IDC_STAT_TACHYTHERAPY_SHOCKS_DELIVERED_TOTAL^MDC||1|||||F

OBX|60|ST|720961^MDC_IDC_LEAD_MODEL^MDC|1|1030|||||F

OBX|61|ST|720962^MDC_IDC_LEAD_SERIAL^MDC|1|A123456|||||F

OBX|62|CWE|720963^MDC_IDC_LEAD_MFG^MDC|1|753732^MDC_IDC_ENUM_MFG_BSX^MDC|||||F

OBX|63|CWE|720966^MDC_IDC_LEAD_LOCATION^MDC|1|753861^MDC_IDC_ENUM_LEAD_LOCATION_CHAMBER_OTHER^MDC|||||F

OBX|64|CWE|720967^MDC_IDC_LEAD_LOCATION_DETAIL_1^MDC|1|753944^MDC_IDC_ENUM_LEAD_LOCATION_DETAIL_Subcutaneous^MDC|||||F

OBX|65|ED|18750-0^Cardiac Electrophysiology Report^LN^^Gesamtbericht||Application^PDF^^Base64^{kodierte PDF hier}|||||F

||201501260412-0600OBX|66|ED|18750-0^Cardiac Electrophysiology Report^LN^^Bericht Arrhythmie-Logbuch||Application^PDF^^Base64^{kodierte PDF hier}|||||F

||201501260412-0600OBX|67|ED|18750-0^Cardiac Electrophysiology Report^LN^^Eingangs-S-EKG-Bericht||Application^PDF^^Base64^{kodierte PDF hier}|||||F

||201501260412-0600

BEISPIEL-NACHRICHT 2 — ANDERE GERÄTE (NICHT S-ICD)

```
MSH|^~\&|LATITUDE|BOSTON SCIENTIFIC||TestClinic|201305092136+0000||ORU^R01^ORU_R01
|O|P|2.6| |||UNICODE UTF-8|de^German||IHE_PCD_009^IHE_PCD
^1.3.6.1.4.1.19376.1.6.1.9.1^ISO
PID|1||model:N119/serial:900141^^^BSX^U||testLastName^testName^^^^^I
~testAuxLName^testAuxFName^^^^^P||19680215|U
PV1||R
PV2|||||||||||||||||||||TestDeviceGroup^^1
OBR|1||1000000916|754054^MDC_IDC_ENUM_SESS_TYPE_RemotePatientInitiated
^MDC||201001151330-0500|||||||||||||||||F
NTE|1||02 Feb 2012 00:00 - Alarmstufe Gelb - AF Burden von mindestens 3,0 Stunden
in einem 24-Stunden-Zeitraum.
NTE|2||02 Feb 2012 00:00 - Alarmstufe Gelb - AF Burden von mindestens 3,0 Stunden
in einem 24-Stunden-Zeitraum zwischen 11 Jan 2010 23:00 und 12 Jan 2010 00:00.
NTE|3||02 Feb 2012 00:00 - Alarmstufe Gelb - Cardiale Resynchronisationstherapie
Stimulation von < 1%. Stimulation war 2% zwischen 11 Jan 2010 23:00
und 12 Jan 2010 00:00.
NTE|4||02 Feb 2012 00:00 - Alarmstufe Gelb - Rechtsventrikuläre Stimulation von > 1%.
Die Stimulation betrug 2% zwischen 11 Jan 2010 23:00 und 12 Jan 2010 00:00.
NTE|5||02 Feb 2012 00:00 - Alarmstufe Gelb - Vom Patienten ausgelöstes Ereignis
gespeichert. Episoden-Details im Arrhythmie-Logbuch im Register „Ereignisse“ ansehen.
NTE|6||02 Feb 2012 00:00 - Alarmstufe Gelb - Gewichtszunahme von mindestens 2,27 kg in
einer Woche oder durchschnittlich mindestens 0,91 kg innerhalb von zwei oder
mehr Tagen.
NTE|7||02 Feb 2012 00:00 - Alarmstufe Gelb - Gewichtsverlust von mindestens 2,27 kg in
einer Woche oder durchschnittlich mindestens 0,91 kg innerhalb von zwei oder
mehr Tagen.
NTE|8||02 Feb 2012 00:00 - Alarmstufe Gelb - Explantations-Indikator erreicht
am 12 Jan 2010 00:00. Termin zum Austausch dieses Geräts ansetzen.
NTE|9||02 Feb 2012 00:00 - Alarmstufe Gelb - Spannung war zu niedrig für vorhergesagte
verbleibende Kapazität.
NTE|10||02 Feb 2012 00:00 - Alarmstufe Rot - Fernüberwachung deaktiviert am 12 Jan 2010
00:00 wegen begrenzter Batteriekapazität (Explantationsindikator erreicht am
12 Feb 2010 00:00).
NTE|11||02 Feb 2012 00:00 - Alarmstufe Gelb - Beschädigung der Therapie Speicher-Daten
festgestellt. Bisher gespeicherte Therapie Speicher-Daten wurden gelöscht.
NTE|12||02 Feb 2012 00:00 - Alarmstufe Rot - Mögliche Gerätefunktionsstörung
(Fehler-Code 1011).
NTE|13||02 Feb 2012 00:00 - Alarmstufe Rot - Mögliche Fehlfunktion des Geräts
(Fehlercode 1007).
NTE|14||02 Feb 2012 00:00 - Alarmstufe Rot - Mögliche Fehlfunktion des Geräts
(Fehlercode 1009).
NTE|15||02 Feb 2012 00:00 - Alarmstufe Rot - Das Gerät befindet sich im Sicherheitsmodus.
Zum Schutz des Patienten hat das Gerät in den Sicherheitsmodus umgeschaltet.
NTE|16||02 Feb 2012 00:00 - Alarmstufe Gelb - Rechtsventrikuläre automatische
Reizschwelle erkannt als > programmierte Amplitude oder ausgesetzt.
NTE|17||02 Feb 2012 00:00 - Alarmstufe Gelb - Atriale automatische Reizschwelle erkannt
als > programmierte Amplitude oder ausgesetzt.
NTE|18||02 Feb 2012 00:00 - Alarmstufe Rot - Schockelektrodenimpedanz außerhalb des
zulässigen Bereichs.
NTE|19||02 Feb 2012 00:00 - Alarmstufe Rot - Niedrige Schockelektrodenimpedanz bei
dem Versuch erkannt, einen Schock abzugeben
NTE|20||02 Feb 2012 00:00 - Alarmstufe Rot - Hohe Schockelektrodenimpedanz bei dem
Versuch erkannt, einen Schock abzugeben
NTE|21||02 Feb 2012 00:00 - Alarmstufe Rot - Hochspannung an Schockelektrode erkannt
während des Ladens
NTE|22||02 Feb 2012 00:00 - Alarmstufe Rot - Elektrokauter-Schutz ist aktiv.
NTE|23||02 Feb 2012 00:00 - Alarmstufe Gelb - VT-Episode aufgetreten (V>A).
```

NTE|24||02 Feb 2012 00:00 - Alarmstufe Gelb - Brady-Modus des Geräts ist AUS.
Brady-Therapie wird nicht abgegeben.

NTE|25||02 Feb 2012 00:00 - Alarmstufe Gelb - Linksventrikuläre
Stimulationselektrodenimpedanz außerhalb des Bereichs.

NTE|26||02 Feb 2012 00:00 - Alarmstufe Gelb - Atriale Stimulationselektrodenimpedanz
außerhalb des Bereichs.

NTE|27||02 Feb 2012 00:00 - Alarmstufe Gelb - Rechtsventrikuläre intrinsische Amplitude
außerhalb des Bereichs.

NTE|28||02 Feb 2012 00:00 - Alarmstufe Gelb - Intrinsische Amplitude außerhalb des
Bereichs.

NTE|29||02 Feb 2012 00:00 - Alarmstufe Gelb - Linksventrikuläre intrinsische Amplitude
außerhalb des Bereichs.

NTE|30||02 Feb 2012 00:00 - Alarmstufe Gelb - Atriale intrinsische Amplitude außerhalb
des Bereichs.

NTE|31||02 Feb 2012 00:00 - Alarmstufe Rot - Rechtsventrikuläre
Stimulationselektrodenimpedanz außerhalb des Bereichs.

NTE|32||02 Feb 2012 00:00 - Alarmstufe Rot - Stimulationselektrodenimpedanz außerhalb
des Bereichs.

NTE|33||02 Feb 2012 00:00 - Alarmstufe Gelb - Ventrikuläre Schocktherapie abgegeben,
um Arrhythmie zu beenden.

NTE|34||02 Feb 2012 00:00 - Alarmstufe Gelb - Episode beschleunigter ventrikulärer
Arrhythmie.

NTE|35||02 Feb 2012 00:00 - Alarmstufe Rot - V-Tachy-Modus auf anderen Wert als
Überwachung + Therapie gesetzt

NTE|36||02 Feb 2012 00:00 - Alarmstufe Rot - Benachrichtigung zur Elektrodenüberprüfung
aufgrund einer abrupten Änderung der rechtsventrikulären
Stimulationselektrodenimpedanz in den letzten 7 Tagen.

NTE|37||02 Feb 2012 00:00 - Alarmstufe Rot - Benachrichtigung zur Elektrodenüberprüfung
aufgrund einer Episode mit möglichem rechtsventrikulärem nicht-physiologischem
Signal.

NTE|38||02 Feb 2012 00:00 - Alarmstufe Gelb - Linksventrikulärer automatischer
Reizschwellenwert > programmierte Amplitude oder ausgesetzt.

OBX|1|ST|739536^MDC_IDC_EPISODE_ID^MDC|1|MRT-16|||||F

OBX|2|DTM|739552^MDC_IDC_EPISODE_DTM^MDC|1|200101020304|||||F

OBX|3|CWE|739568^MDC_IDC_EPISODE_TYPE^MDC|1|754888
^MDC_IDC_ENUM_EPISODE_TYPE_Epis_Other^MDC|||||F

OBX|4|CWE|739600^MDC_IDC_EPISODE_VENDOR_TYPE^MDC|1|||||F

OBX|5|NM|739712^MDC_IDC_EPISODE_DURATION^MDC|1|100|s|||||F

OBX|6|ST|739680^MDC_IDC_EPISODE_DETECTION_THERAPY_DETAILS
^MDC|1|MRT-Schutz-Modus|||||F

OBX|7|ST|739536^MDC_IDC_EPISODE_ID^MDC|2|LVAT-15|||||F

OBX|8|DTM|739552^MDC_IDC_EPISODE_DTM^MDC|2|200101020304|||||F

OBX|9|CWE|739568^MDC_IDC_EPISODE_TYPE^MDC|2|754888
^MDC_IDC_ENUM_EPISODE_TYPE_Epis_Other^MDC|||||F

OBX|10|CWE|739600^MDC_IDC_EPISODE_VENDOR_TYPE^MDC|2|||||F

OBX|11|NM|739712^MDC_IDC_EPISODE_DURATION^MDC|2|100|s|||||F

OBX|12|ST|739680^MDC_IDC_EPISODE_DETECTION_THERAPY_DETAILS^MDC|2|LV Auto|||||F

OBX|13|ST|739536^MDC_IDC_EPISODE_ID^MDC|3|RVAT-14|||||F

OBX|14|DTM|739552^MDC_IDC_EPISODE_DTM^MDC|3|200101020304|||||F

OBX|15|CWE|739568^MDC_IDC_EPISODE_TYPE^MDC|3|754888
^MDC_IDC_ENUM_EPISODE_TYPE_Epis_Other^MDC|||||F

OBX|16|CWE|739600^MDC_IDC_EPISODE_VENDOR_TYPE^MDC|3|||||F

OBX|17|NM|739712^MDC_IDC_EPISODE_DURATION^MDC|3|100|s|||||F

OBX|18|ST|739680^MDC_IDC_EPISODE_DETECTION_THERAPY_DETAILS^MDC|3|RV Autom.|||||F

OBX|19|ST|739536^MDC_IDC_EPISODE_ID^MDC|4|APM-13|||||F

OBX|20|DTM|739552^MDC_IDC_EPISODE_DTM^MDC|4|200101020304|||||F

OBX|21|CWE|739568^MDC_IDC_EPISODE_TYPE^MDC|4|754886
^MDC_IDC_ENUM_EPISODE_TYPE_Epis_PeriodicEGM^MDC|||||F

OBX|22|CWE|739600^MDC_IDC_EPISODE_VENDOR_TYPE^MDC|4|771085

```

^MDC_IDC_ENUM_EPISODE_VENDOR_TYPE_BSX-Epis_APMRT^MDC|||||F
OBX|23|ST|739680^MDC_IDC_EPISODE_DETECTION_THERAPY_DETAILS^MDC|4|Eingangs-EGM|||||F
OBX|24|ST|739536^MDC_IDC_EPISODE_ID^MDC|5|PTM-12|||||F
OBX|25|DTM|739552^MDC_IDC_EPISODE_DTM^MDC|5|200101020304|||||F
OBX|26|CWE|739568^MDC_IDC_EPISODE_TYPE^MDC|5|754887
^MDC_IDC_ENUM_EPISODE_TYPE_Epis_PatientActivated^MDC|||||F
OBX|27|CWE|739600^MDC_IDC_EPISODE_VENDOR_TYPE^MDC|5|771080
^MDC_IDC_ENUM_EPISODE_VENDOR_TYPE_BSX-Epis_PTM^MDC|||||F
OBX|28|NM|739648^MDC_IDC_EPISODE_VENTRICULAR_INTERVAL_AT_DETECTION
^MDC|5|30000|ms|||||F
OBX|29|NM|739712^MDC_IDC_EPISODE_DURATION^MDC|5|100|s|||||F
OBX|30|ST|739680^MDC_IDC_EPISODE_DETECTION_THERAPY_DETAILS^MDC|5|PTM|||||F
OBX|31|ST|739536^MDC_IDC_EPISODE_ID^MDC|6|RAAT-11|||||F
OBX|32|DTM|739552^MDC_IDC_EPISODE_DTM^MDC|6|200101020304|||||F
OBX|33|CWE|739568^MDC_IDC_EPISODE_TYPE^MDC|6|754888
^MDC_IDC_ENUM_EPISODE_TYPE_Epis_Other^MDC|||||F
OBX|34|CWE|739600^MDC_IDC_EPISODE_VENDOR_TYPE^MDC|6|||||F
OBX|35|NM|739712^MDC_IDC_EPISODE_DURATION^MDC|6|100|s|||||F
OBX|36|ST|739680^MDC_IDC_EPISODE_DETECTION_THERAPY_DETAILS^MDC|6|RA Auto|||||F
OBX|37|ST|739536^MDC_IDC_EPISODE_ID^MDC|7|RYTHMIQ-10|||||F
OBX|38|DTM|739552^MDC_IDC_EPISODE_DTM^MDC|7|200101020304|||||F
OBX|39|CWE|739568^MDC_IDC_EPISODE_TYPE^MDC|7|754888
^MDC_IDC_ENUM_EPISODE_TYPE_Epis_Other^MDC|||||F
OBX|40|CWE|739600^MDC_IDC_EPISODE_VENDOR_TYPE^MDC|7|771084
^MDC_IDC_ENUM_EPISODE_VENDOR_TYPE_BSX-Epis_RMS^MDC|||||F
OBX|41|NM|739648
^MDC_IDC_EPISODE_VENTRICULAR_INTERVAL_AT_DETECTION^MDC|7|30000|ms|||||F
OBX|42|NM|739712^MDC_IDC_EPISODE_DURATION^MDC|7|100|s|||||F
OBX|43|ST|739680^MDC_IDC_EPISODE_DETECTION_THERAPY_DETAILS^MDC|7|RYTHMIQ|||||F
OBX|44|ST|739536^MDC_IDC_EPISODE_ID^MDC|8|RMS-9|||||F
OBX|45|DTM|739552^MDC_IDC_EPISODE_DTM^MDC|8|200101020304|||||F
OBX|46|CWE|739568^MDC_IDC_EPISODE_TYPE^MDC|8|754888
^MDC_IDC_ENUM_EPISODE_TYPE_Epis_Other^MDC|||||F
OBX|47|CWE|739600^MDC_IDC_EPISODE_VENDOR_TYPE^MDC|8|771084
^MDC_IDC_ENUM_EPISODE_VENDOR_TYPE_BSX-Epis_RMS^MDC|||||F
OBX|48|NM|739648
^MDC_IDC_EPISODE_VENTRICULAR_INTERVAL_AT_DETECTION^MDC|8|30000|ms|||||F
OBX|49|NM|739712^MDC_IDC_EPISODE_DURATION^MDC|8|100|s|||||F
OBX|50|ST|739680^MDC_IDC_EPISODE_DETECTION_THERAPY_DETAILS^MDC|8|RMS|||||F
OBX|51|ST|739536^MDC_IDC_EPISODE_ID^MDC|9|V-8|||||F
OBX|52|DTM|739552^MDC_IDC_EPISODE_DTM^MDC|9|200101020304|||||F
OBX|53|CWE|739568^MDC_IDC_EPISODE_TYPE
^MDC|9|754881^MDC_IDC_ENUM_EPISODE_TYPE_Epis_VF^MDC|||||F
OBX|54|CWE|739600^MDC_IDC_EPISODE_VENDOR_TYPE
^MDC|9|771073^MDC_IDC_ENUM_EPISODE_VENDOR_TYPE_BSX-Epis_VF^MDC|||||F
OBX|55|CWE|739584^MDC_IDC_EPISODE_TYPE_INDUCED^MDC|9|755329
^MDC_IDC_ENUM_EPISODE_TYPE_INDUCED_YES^MDC|||||F
OBX|56|NM|739648
^MDC_IDC_EPISODE_VENTRICULAR_INTERVAL_AT_DETECTION^MDC|9|30000|ms|||||F
OBX|57|NM|739712^MDC_IDC_EPISODE_DURATION^MDC|9|100|s|||||F
OBX|58|ST|739680
^MDC_IDC_EPISODE_DETECTION_THERAPY_DETAILS^MDC|9|VF ATPx1, 0,1J, 0,2J, 31Jx2|||||F
OBX|59|ST|739536^MDC_IDC_EPISODE_ID^MDC|10|PMT-7|||||F
OBX|60|DTM|739552^MDC_IDC_EPISODE_DTM^MDC|10|200101020304|||||F
OBX|61|CWE|739568^MDC_IDC_EPISODE_TYPE^MDC|10|754888
^MDC_IDC_ENUM_EPISODE_TYPE_Epis_Other^MDC|||||F
OBX|62|CWE|739600^MDC_IDC_EPISODE_VENDOR_TYPE^MDC|10|771079
^MDC_IDC_ENUM_EPISODE_VENDOR_TYPE_BSX-Epis_PMT^MDC|||||F
OBX|63|NM|739648^MDC_IDC_EPISODE_VENTRICULAR_INTERVAL_AT_DETECTION

```

^MDC|10|30000|ms|||||F
OBX|64|NM|739712^MDC_IDC_EPISODE_DURATION^MDC|10|100|s|||||F
OBX|65|ST|739680^MDC_IDC_EPISODE_DETECTION_THERAPY_DETAILS^MDC|10|PMT|||||F
OBX|66|ST|739536^MDC_IDC_EPISODE_ID^MDC|11|V-6|||||F
OBX|67|DTM|739552^MDC_IDC_EPISODE_DTM^MDC|11|200101020304|||||F
OBX|68|CWE|739568^MDC_IDC_EPISODE_TYPE^MDC|11|754882
^MDC_IDC_ENUM_EPISODE_TYPE_Epis_VT^MDC|11|754882|F
OBX|69|CWE|739600^MDC_IDC_EPISODE_VENDOR_TYPE^MDC|11|771075
^MDC_IDC_ENUM_EPISODE_VENDOR_TYPE_BSX-Epis_VT-1^MDC|11|771075|F
OBX|70|CWE|739584^MDC_IDC_EPISODE_TYPE_INDUCED^MDC|11|755329
^MDC_IDC_ENUM_EPISODE_TYPE_INDUCED_YES^MDC|11|755329|F
OBX|71|NM|739648^MDC_IDC_EPISODE_VENTRICULAR_INTERVAL_AT_DETECTION
^MDC|11|30000|ms|||||F
OBX|72|NM|739712^MDC_IDC_EPISODE_DURATION^MDC|11|100|s|||||F
OBX|73|ST|739680^MDC_IDC_EPISODE_DETECTION_THERAPY_DETAILS
^MDC|11|VT-1 ATPx1, 0,1J, 0,2J, 31Jx2|||||F
OBX|74|ST|739536^MDC_IDC_EPISODE_ID^MDC|12|ATR-5|||||F
OBX|75|DTM|739552^MDC_IDC_EPISODE_DTM^MDC|12|200101020304|||||F
OBX|76|CWE|739568^MDC_IDC_EPISODE_TYPE^MDC|12|754883
^MDC_IDC_ENUM_EPISODE_TYPE_Epis_ATAF^MDC|12|754883|F
OBX|77|CWE|739600^MDC_IDC_EPISODE_VENDOR_TYPE^MDC|12|771078
^MDC_IDC_ENUM_EPISODE_VENDOR_TYPE_BSX-Epis_ATR^MDC|12|771078|F
OBX|78|NM|739616^MDC_IDC_EPISODE_ATRIAL_INTERVAL_AT_DETECTION^MDC|12|20000|ms|||||F
OBX|79|NM|739712^MDC_IDC_EPISODE_DURATION^MDC|12|100|s|||||F
OBX|80|ST|739680^MDC_IDC_EPISODE_DETECTION_THERAPY_DETAILS^MDC|12|ATR|||||F
OBX|81|ST|739536^MDC_IDC_EPISODE_ID^MDC|13|V-4|||||F
OBX|82|DTM|739552^MDC_IDC_EPISODE_DTM^MDC|13|200101020304|||||F
OBX|83|CWE|739568^MDC_IDC_EPISODE_TYPE^MDC|13|754882
^MDC_IDC_ENUM_EPISODE_TYPE_Epis_VT^MDC|13|754882|F
OBX|84|CWE|739600^MDC_IDC_EPISODE_VENDOR_TYPE^MDC|13|771077
^MDC_IDC_ENUM_EPISODE_VENDOR_TYPE_BSX-Epis_NSVT^MDC|13|771077|F
OBX|85|CWE|739584^MDC_IDC_EPISODE_TYPE_INDUCED^MDC|13|755329
^MDC_IDC_ENUM_EPISODE_TYPE_INDUCED_YES^MDC|13|755329|F
OBX|86|NM|739648^MDC_IDC_EPISODE_VENTRICULAR_INTERVAL_AT_DETECTION
^MDC|13|30000|ms|||||F
OBX|87|NM|739712^MDC_IDC_EPISODE_DURATION^MDC|13|100|s|||||F
OBX|88|ST|739680^MDC_IDC_EPISODE_DETECTION_THERAPY_DETAILS^MDC|13|NonSustV|||||F
OBX|89|ST|739536^MDC_IDC_EPISODE_ID^MDC|14|V-3|||||F
OBX|90|DTM|739552^MDC_IDC_EPISODE_DTM^MDC|14|200101020304|||||F
OBX|91|CWE|739568^MDC_IDC_EPISODE_TYPE^MDC|14|754882
^MDC_IDC_ENUM_EPISODE_TYPE_Epis_VT^MDC|14|754882|F
OBX|92|CWE|739600^MDC_IDC_EPISODE_VENDOR_TYPE^MDC|14|771074
^MDC_IDC_ENUM_EPISODE_VENDOR_TYPE_BSX-Epis_VT^MDC|14|771074|F
OBX|93|CWE|739584^MDC_IDC_EPISODE_TYPE_INDUCED^MDC|14|755329
^MDC_IDC_ENUM_EPISODE_TYPE_INDUCED_YES^MDC|14|755329|F
OBX|94|NM|739648^MDC_IDC_EPISODE_VENTRICULAR_INTERVAL_AT_DETECTION
^MDC|14|30000|ms|||||F
OBX|95|NM|739712^MDC_IDC_EPISODE_DURATION^MDC|14|100|s|||||F
OBX|96|ST|739680^MDC_IDC_EPISODE_DETECTION_THERAPY_DETAILS
^MDC|14|VT ATPx1, 0,1J, 0,2J, 31Jx2|||||F
OBX|97|ST|739536^MDC_IDC_EPISODE_ID^MDC|15|SBR-2|||||F
OBX|98|DTM|739552^MDC_IDC_EPISODE_DTM^MDC|15|200101020304|||||F
OBX|99|CWE|739568^MDC_IDC_EPISODE_TYPE^MDC|15|754888
^MDC_IDC_ENUM_EPISODE_TYPE_Epis_Other^MDC|15|754888|F
OBX|100|CWE|739600^MDC_IDC_EPISODE_VENDOR_TYPE^MDC|15|771075|F
OBX|101|NM|739616^MDC_IDC_EPISODE_ATRIAL_INTERVAL_AT_DETECTION^MDC|15|20000|ms|||||F
OBX|102|NM|739712^MDC_IDC_EPISODE_DURATION^MDC|15|100|s|||||F
OBX|103|ST|739680^MDC_IDC_EPISODE_DETECTION_THERAPY_DETAILS^MDC|15|SBR|||||F
OBX|104|ST|739536^MDC_IDC_EPISODE_ID^MDC|16|V-1|||||F

3-8 IDCO-BEISPIELDATEIEN
BEISPIEL-NACHRICHT 2 — ANDERE GERÄTE (NICHT S-ICD)

OBX|105|DTM|739552^MDC_IDC_EPISODE_DTM^MDC|16|200101020304|||||F
OBX|106|CWE|739568^MDC_IDC_EPISODE_TYPE^MDC|16|754888
^MDC_IDC_ENUM_EPISODE_TYPE_Epis_Other^MDC|||||F
OBX|107|CWE|739600^MDC_IDC_EPISODE_VENDOR_TYPE^MDC|16|||||F
OBX|108|CWE|739584^MDC_IDC_EPISODE_TYPE_INDUCED^MDC|16|755329
^MDC_IDC_ENUM_EPISODE_TYPE_INDUCED_YES^MDC|||||F
OBX|109|NM|739648^MDC_IDC_EPISODE_VENTRICULAR_INTERVAL_AT_DETECTION
^MDC|16|30000|ms|||||F
OBX|110|NM|739712^MDC_IDC_EPISODE_DURATION^MDC|16|100|s|||||F
OBX|111|ST|739680^MDC_IDC_EPISODE_DETECTION_THERAPY_DETAILS
^MDC|16|Bef. v Therapie abgegeben|||||F
OBX|112|ED|18750-0^Cardiac Electrophysiology Report^LN||Application^PDF^
^Base64^{encoded PDF included here}|||||F||201001151330-0500
OBX|113|ED|18750-0^Cardiac Electrophysiology Report^LN|4|Application^PDF^
^Base64^{encoded PDF included here}|||||F||201001151330-0500
OBX|114|CWE|720897^MDC_IDC_DEV_TYPE^MDC||753665^MDC_IDC_ENUM_DEV_TYPE_IPG^MDC|||||F
OBX|115|ST|720898^MDC_IDC_DEV_MODEL^MDC||N119|||||F
OBX|116|ST|720899^MDC_IDC_DEV_SERIAL^MDC||900141|||||F
OBX|117|CWE|720900^MDC_IDC_DEV_MFG^MDC||753732^MDC_IDC_ENUM_MFG_BSX^MDC|||||F
OBX|118|DTM|720901^MDC_IDC_DEV_IMPLANT_DT^MDC||20120513|||||F
OBX|119|ST|720961^MDC_IDC_LEAD_MODEL^MDC|1|12345|||||F
OBX|120|ST|720962^MDC_IDC_LEAD_SERIAL^MDC|1|6789|||||F
OBX|121|CWE|720963^MDC_IDC_LEAD_MFG^MDC|1|753731^MDC_IDC_ENUM_MFG_BIO^MDC|||||F
OBX|122|CWE|720965^MDC_IDC_LEAD_POLARITY_TYPE^MDC|1|753793
^MDC_IDC_ENUM_LEAD_POLARITY_TYPE_UNI^MDC|||||F
OBX|123|DTM|720964^MDC_IDC_LEAD_IMPLANT_DT^MDC|1|201205|||||F
OBX|124|CWE|720966^MDC_IDC_LEAD_LOCATION^MDC|1|753858
^MDC_IDC_ENUM_LEAD_LOCATION_CHAMBER_LV^MDC|||||F
OBX|125|CWE|720967^MDC_IDC_LEAD_LOCATION_DETAIL_1^MDC|1|753922
^MDC_IDC_ENUM_LEAD_LOCATION_DETAIL_Apex^MDC|||||F
OBX|126|CWE|720968^MDC_IDC_LEAD_LOCATION_DETAIL_2^MDC|1|753925
^MDC_IDC_ENUM_LEAD_LOCATION_DETAIL_VenaCava^MDC|||||F
OBX|127|ST|720961^MDC_IDC_LEAD_MODEL^MDC|2|12345|||||F
OBX|128|ST|720962^MDC_IDC_LEAD_SERIAL^MDC|2|6789|||||F
OBX|129|CWE|720963^MDC_IDC_LEAD_MFG^MDC|2|753731^MDC_IDC_ENUM_MFG_BIO^MDC|||||F
OBX|130|CWE|720965^MDC_IDC_LEAD_POLARITY_TYPE^MDC|2|753793
^MDC_IDC_ENUM_LEAD_POLARITY_TYPE_UNI^MDC|||||F
OBX|131|DTM|720964^MDC_IDC_LEAD_IMPLANT_DT^MDC|2|201205|||||F
OBX|132|CWE|720966^MDC_IDC_LEAD_LOCATION^MDC|2|753858
^MDC_IDC_ENUM_LEAD_LOCATION_CHAMBER_LV^MDC|||||F
OBX|133|CWE|720967^MDC_IDC_LEAD_LOCATION_DETAIL_1^MDC|2|753922
^MDC_IDC_ENUM_LEAD_LOCATION_DETAIL_Apex^MDC|||||F
OBX|134|CWE|720968^MDC_IDC_LEAD_LOCATION_DETAIL_2^MDC|2|753925
^MDC_IDC_ENUM_LEAD_LOCATION_DETAIL_VenaCava^MDC|||||F
OBX|135|ST|720961^MDC_IDC_LEAD_MODEL^MDC|3|12345|||||F
OBX|136|ST|720962^MDC_IDC_LEAD_SERIAL^MDC|3|6789|||||F
OBX|137|CWE|720963^MDC_IDC_LEAD_MFG^MDC|3|753731^MDC_IDC_ENUM_MFG_BIO^MDC|||||F
OBX|138|CWE|720965^MDC_IDC_LEAD_POLARITY_TYPE^MDC|3|753793
^MDC_IDC_ENUM_LEAD_POLARITY_TYPE_UNI^MDC|||||F
OBX|139|DTM|720964^MDC_IDC_LEAD_IMPLANT_DT^MDC|3|201205|||||F
OBX|140|CWE|720966^MDC_IDC_LEAD_LOCATION^MDC|3|753858
^MDC_IDC_ENUM_LEAD_LOCATION_CHAMBER_LV^MDC|||||F
OBX|141|CWE|720967^MDC_IDC_LEAD_LOCATION_DETAIL_1
^MDC|3|753922^MDC_IDC_ENUM_LEAD_LOCATION_DETAIL_Apex^MDC|||||F
OBX|142|CWE|720968^MDC_IDC_LEAD_LOCATION_DETAIL_2^MDC|3|753925
^MDC_IDC_ENUM_LEAD_LOCATION_DETAIL_VenaCava^MDC|||||F
OBX|143|ST|720961^MDC_IDC_LEAD_MODEL^MDC|4|12345|||||F
OBX|144|ST|720962^MDC_IDC_LEAD_SERIAL^MDC|4|6789|||||F
OBX|145|CWE|720963^MDC_IDC_LEAD_MFG^MDC|4|753731^MDC_IDC_ENUM_MFG_BIO^MDC|||||F

OBX|146|CWE|720965^MDC_IDC_LEAD_POLARITY_TYPE^MDC|4|753793
 ^MDC_IDC_ENUM_LEAD_POLARITY_TYPE_UNI^MDC|||||F
 OBX|147|DTM|720964^MDC_IDC_LEAD_IMPLANT_DT^MDC|4|201205|||||F
 OBX|148|CWE|720966^MDC_IDC_LEAD_LOCATION^MDC|4|753858
 ^MDC_IDC_ENUM_LEAD_LOCATION_CHAMBER_LV^MDC|||||F
 OBX|149|CWE|720967^MDC_IDC_LEAD_LOCATION_DETAIL_1
 ^MDC|4|753922^MDC_IDC_ENUM_LEAD_LOCATION_DETAIL_Apex^MDC|||||F
 OBX|150|CWE|720968^MDC_IDC_LEAD_LOCATION_DETAIL_2^MDC|4|753925
 ^MDC_IDC_ENUM_LEAD_LOCATION_DETAIL_VenaCava^MDC|||||F
 OBX|151|ST|720961^MDC_IDC_LEAD_MODEL^MDC|5|12345|||||F
 OBX|152|ST|720962^MDC_IDC_LEAD_SERIAL^MDC|5|6789|||||F
 OBX|153|CWE|720963^MDC_IDC_LEAD_MFG^MDC|5|753731
 ^MDC_IDC_ENUM_MFG_BIO^MDC|||||F
 OBX|154|CWE|720965^MDC_IDC_LEAD_POLARITY_TYPE^MDC|5|753793
 ^MDC_IDC_ENUM_LEAD_POLARITY_TYPE_UNI^MDC|||||F
 OBX|155|DTM|720964^MDC_IDC_LEAD_IMPLANT_DT^MDC|5|201205|||||F
 OBX|156|CWE|720966^MDC_IDC_LEAD_LOCATION^MDC|5|753858
 ^MDC_IDC_ENUM_LEAD_LOCATION_CHAMBER_LV^MDC|||||F
 OBX|157|CWE|720967^MDC_IDC_LEAD_LOCATION_DETAIL_1^MDC|5|753922
 ^MDC_IDC_ENUM_LEAD_LOCATION_DETAIL_Apex^MDC|||||F
 OBX|158|CWE|720968^MDC_IDC_LEAD_LOCATION_DETAIL_2^MDC|5|753925
 ^MDC_IDC_ENUM_LEAD_LOCATION_DETAIL_VenaCava^MDC|||||F
 OBX|159|ST|720961^MDC_IDC_LEAD_MODEL^MDC|6|12345|||||F
 OBX|160|ST|720962^MDC_IDC_LEAD_SERIAL^MDC|6|6789|||||F
 OBX|161|CWE|720963^MDC_IDC_LEAD_MFG^MDC|6|753731^MDC_IDC_ENUM_MFG_BIO^MDC|||||F
 OBX|162|CWE|720965^MDC_IDC_LEAD_POLARITY_TYPE^MDC|6|753793
 ^MDC_IDC_ENUM_LEAD_POLARITY_TYPE_UNI^MDC|||||F
 OBX|163|DTM|720964^MDC_IDC_LEAD_IMPLANT_DT^MDC|6|201205|||||F
 OBX|164|CWE|720966^MDC_IDC_LEAD_LOCATION^MDC|6|753858
 ^MDC_IDC_ENUM_LEAD_LOCATION_CHAMBER_LV^MDC|||||F
 OBX|165|CWE|720967^MDC_IDC_LEAD_LOCATION_DETAIL_1^MDC|6|753922
 ^MDC_IDC_ENUM_LEAD_LOCATION_DETAIL_Apex^MDC|||||F
 OBX|166|CWE|720968^MDC_IDC_LEAD_LOCATION_DETAIL_2^MDC|6|753925
 ^MDC_IDC_ENUM_LEAD_LOCATION_DETAIL_VenaCava^MDC|||||F
 OBX|167|DTM|721025^MDC_IDC_SESS_DTM^MDC||201001021310-0600|||||F
 OBX|168|CWE|721026^MDC_IDC_SESS_TYPE^MDC||754052
 ^MDC_IDC_ENUM_SESS_TYPE_RemoteDeviceInitiated^MDC|||||F
 OBX|169|ST|721033^MDC_IDC_SESS_CLINIC_NAME
 ^MDC||abcdefghijklmnopqrstuvwxyzabcdefghijklmnopqrstuwx|||||F
 OBX|170|DTM|721216^MDC_IDC_MSMT_BATTERY_DTM^MDC||201205221755+0000|||||F
 OBX|171|CWE|721280^MDC_IDC_MSMT_BATTERY_STATUS^MDC||754113
 ^MDC_IDC_ENUM_BATTERY_STATUS_BOS^MDC|||||F
 OBX|172|NM|721472^MDC_IDC_MSMT_BATTERY_REMAINING_LONGEVITY^MDC||132|mo||>||||F
 OBX|173|NM|721536^MDC_IDC_MSMT_BATTERY_REMAINING_PERCENTAGE^MDC||100|%|||||F
 OBX|174|DTM|721664^MDC_IDC_MSMT_CAP_CHARGE_DTM^MDC||201205221755|||||F
 OBX|175|NM|721728^MDC_IDC_MSMT_CAP_CHARGE_TIME^MDC||3.0|s|||||F
 OBX|176|CWE|721856^MDC_IDC_MSMT_CAP_CHARGE_TYPE^MDC||754178
 ^MDC_IDC_ENUM_CHARGE_TYPE_Reformation^MDC|||||F
 OBX|177|DTM|721921^MDC_IDC_MSMT_LEADCHNL_RA_DTM_START^MDC||20121211|||||F
 OBX|178|DTM|721922^MDC_IDC_MSMT_LEADCHNL_RA_DTM_END^MDC||20121211|||||F
 OBX|179|CWE|721984^MDC_IDC_MSMT_LEADCHNL_RA_LEAD_CHANNEL_STATUS^MDC||754241
 ^MDC_IDC_ENUM_CHANNEL_STATUS_CheckLead^MDC|||||F
 OBX|180|NM|722051
 ^MDC_IDC_MSMT_LEADCHNL_RA_SENSING_INTR_AMPL_MEAN^MDC|||mV||NAV|||F|||20121211
 OBX|181|DTM|721925^MDC_IDC_MSMT_LEADCHNL_RV_DTM_START^MDC||19990102|||||F
 OBX|182|DTM|721926^MDC_IDC_MSMT_LEADCHNL_RV_DTM_END^MDC||20121211|||||F
 OBX|183|CWE|721985^MDC_IDC_MSMT_LEADCHNL_RV_LEAD_CHANNEL_STATUS^MDC||754241
 ^MDC_IDC_ENUM_CHANNEL_STATUS_CheckLead^MDC|||||F
 OBX|184|NM|722055

```

^MDC_IDC_MSMT_LEADCHNL_RV_SENSING_INTR_AMPL_MEAN^MDC||0.1|mV||<|||F|||20121211
OBX|185|DTM|721933^MDC_IDC_MSMT_LEADCHNL_LV_DTM_START^MDC||19990102|||F
OBX|186|DTM|721934^MDC_IDC_MSMT_LEADCHNL_LV_DTM_END^MDC||20121211|||F
OBX|187|CWE|721987^MDC_IDC_MSMT_LEADCHNL_LV_LEAD_CHANNEL_STATUS^MDC||754241
^MDC_IDC_ENUM_CHANNEL_STATUS_CheckLead^MDC|||F
OBX|188|NM|722063^MDC_IDC_MSMT_LEADCHNL_LV_SENSING_INTR_AMPL_MEAN
^MDC||25.0|mV||>|||F|||20121211
OBX|189|CWE|722112^MDC_IDC_MSMT_LEADCHNL_RA_SENSING_POLARITY^MDC||754305
^MDC_IDC_ENUM_POLARITY_UNI^MDC|||F
OBX|190|CWE|722113^MDC_IDC_MSMT_LEADCHNL_RV_SENSING_POLARITY^MDC||754306
^MDC_IDC_ENUM_POLARITY_BI^MDC|||F
OBX|191|CWE|722115^MDC_IDC_MSMT_LEADCHNL_LV_SENSING_POLARITY^MDC|||OFF|||F
OBX|192|NM|722176^MDC_IDC_MSMT_LEADCHNL_RA_PACING_THRESHOLD_AMPLITUDE
^MDC||V||NAV|||F|||20121211
OBX|193|NM|722177^MDC_IDC_MSMT_LEADCHNL_RV_PACING_THRESHOLD_AMPLITUDE
^MDC||3.0|V||>|||F|||20121211
OBX|194|NM|722179^MDC_IDC_MSMT_LEADCHNL_LV_PACING_THRESHOLD_AMPLITUDE
^MDC||0.0|V|||F|||20121210
OBX|195|NM|722240^MDC_IDC_MSMT_LEADCHNL_RA_PACING_THRESHOLD_PULSEWIDTH
^MDC||ms||NAV|||F|||19990102
OBX|196|NM|722241^MDC_IDC_MSMT_LEADCHNL_RV_PACING_THRESHOLD_PULSEWIDTH
^MDC||0.4|ms|||F|||19990102
OBX|197|NM|722243^MDC_IDC_MSMT_LEADCHNL_LV_PACING_THRESHOLD_PULSEWIDTH
^MDC||0.4|ms|||F|||19990102
OBX|198|CWE|722304^MDC_IDC_MSMT_LEADCHNL_RA_PACING_THRESHOLD_MEASUREMENT_METHOD
^MDC||754369^MDC_IDC_ENUM_MEASUREMENT_METHOD_ProgrammerManual^MDC|||F
OBX|199|CWE|722305^MDC_IDC_MSMT_LEADCHNL_RV_PACING_THRESHOLD_MEASUREMENT_METHOD
^MDC||754369^MDC_IDC_ENUM_MEASUREMENT_METHOD_ProgrammerManual^MDC|||F
OBX|200|CWE|722307^MDC_IDC_MSMT_LEADCHNL_LV_PACING_THRESHOLD_MEASUREMENT_METHOD
^MDC||754369^MDC_IDC_ENUM_MEASUREMENT_METHOD_ProgrammerManual^MDC|||F
OBX|201|CWE|722368^MDC_IDC_MSMT_LEADCHNL_RA_PACING_THRESHOLD_POLARITY^MDC||754305
^MDC_IDC_ENUM_POLARITY_UNI^MDC|||F
OBX|202|CWE|722369^MDC_IDC_MSMT_LEADCHNL_RV_PACING_THRESHOLD_POLARITY^MDC||754306
^MDC_IDC_ENUM_POLARITY_BI^MDC|||F
OBX|203|CWE|722371^MDC_IDC_MSMT_LEADCHNL_LV_PACING_THRESHOLD_POLARITY^MDC||754306
^MDC_IDC_ENUM_POLARITY_BI^MDC|||F
OBX|204|NM|722432^MDC_IDC_MSMT_LEADCHNL_RA_IMPEDANCE_VALUE
^MDC||200|ohms||<|||F|||20121211
OBX|205|NM|722433^MDC_IDC_MSMT_LEADCHNL_RV_IMPEDANCE_VALUE
^MDC||2000|ohms||>|||F|||20121211
OBX|206|NM|722435^MDC_IDC_MSMT_LEADCHNL_LV_IMPEDANCE_VALUE
^MDC||201|ohms|||F|||20121209
OBX|207|CWE|722496^MDC_IDC_MSMT_LEADCHNL_RA_IMPEDANCE_POLARITY
^MDC||754305^MDC_IDC_ENUM_POLARITY_UNI^MDC|||F
OBX|208|CWE|722497^MDC_IDC_MSMT_LEADCHNL_RV_IMPEDANCE_POLARITY
^MDC||754305^MDC_IDC_ENUM_POLARITY_UNI^MDC|||F
OBX|209|CWE|722499^MDC_IDC_MSMT_LEADCHNL_LV_IMPEDANCE_POLARITY
^MDC||754306^MDC_IDC_ENUM_POLARITY_BI^MDC|||F
OBX|210|DTM|722560^MDC_IDC_MSMT_LEADHVCHNL_DTM_START^MDC||1|20121109|||F
OBX|211|NM|722624^MDC_IDC_MSMT_LEADHVCHNL_IMPEDANCE^MDC||1|ohms||NAV|||F
OBX|212|CWE|722688^MDC_IDC_MSMT_LEADHVCHNL_MEASUREMENT_TYPE^MDC||1|754433
^MDC_IDC_ENUM_HVCHNL_MEASUREMENT_TYPE_LowVoltage^MDC|||F
OBX|213|CWE|722752^MDC_IDC_MSMT_LEADHVCHNL_STATUS^MDC||1|754241
^MDC_IDC_ENUM_CHANNEL_STATUS_CheckLead^MDC|||F
OBX|214|NM|729344^MDC_IDC_SET_CRT_LVRV_DELAY^MDC||-100|ms|||F
OBX|215|CWE|729408^MDC_IDC_SET_CRT_PACED_CHAMBERS^MDC||755265
^MDC_IDC_ENUM_CRT_PACED_CHAMBERS_RV_Only^MDC|||F
OBX|216|NM|729536^MDC_IDC_SET_LEADCHNL_RA_SENSING_SENSITIVITY^MDC||0.5|mV|||F
OBX|217|NM|729537^MDC_IDC_SET_LEADCHNL_RV_SENSING_SENSITIVITY^MDC||0.9|mV|||F

```


OBX|218|NM|729539^MDC_IDC_SET_LEADCHNL_LV_SENSING_SENSITIVITY^MDC||1.0|mv||||F
OBX|219|CWE|729600^MDC_IDC_SET_LEADCHNL_RA_SENSING_POLARITY^MDC||||OFF||F
OBX|220|CWE|729601^MDC_IDC_SET_LEADCHNL_RV_SENSING_POLARITY^MDC||754305
^MDC_IDC_ENUM_POLARITY_UNI^MDC||||F
OBX|221|CWE|729676^MDC_IDC_SET_LEADCHNL_LV_SENSING_ANODE_LOCATION^MDC||754498
^MDC_IDC_ENUM_ELECTRODE_LOCATION_RV^MDC||||F
OBX|222|CWE|729740^MDC_IDC_SET_LEADCHNL_LV_SENSING_ANODE_ELECTRODE^MDC||||OFF||F
OBX|223|CWE|729804^MDC_IDC_SET_LEADCHNL_LV_SENSING_CATHODE_LOCATION^MDC||||OFF||F
OBX|224|CWE|729868^MDC_IDC_SET_LEADCHNL_LV_SENSING_CATHODE_ELECTRODE^MDC||754561
^MDC_IDC_ENUM_ELECTRODE_NAME_Tip^MDC||||F
OBX|225|CWE|729920^MDC_IDC_SET_LEADCHNL_RA_SENSING_ADAPTATION_MODE^MDC||754625
^MDC_IDC_ENUM_SENSING_ADAPTATION_MODE_AdaptiveSensing^MDC||||F
OBX|226|CWE|729921^MDC_IDC_SET_LEADCHNL_RV_SENSING_ADAPTATION_MODE^MDC||754625
^MDC_IDC_ENUM_SENSING_ADAPTATION_MODE_AdaptiveSensing^MDC||||F
OBX|227|CWE|729923^MDC_IDC_SET_LEADCHNL_LV_SENSING_ADAPTATION_MODE^MDC||754626
^MDC_IDC_ENUM_SENSING_ADAPTATION_MODE_FixedSensing^MDC||||F
OBX|228|NM|729984^MDC_IDC_SET_LEADCHNL_RA_PACING_AMPLITUDE^MDC||5.1|V||||F
OBX|229|NM|729985^MDC_IDC_SET_LEADCHNL_RV_PACING_AMPLITUDE^MDC||5.0|V||||F
OBX|230|NM|729987^MDC_IDC_SET_LEADCHNL_LV_PACING_AMPLITUDE^MDC||2.8|V||||F
OBX|231|NM|730048^MDC_IDC_SET_LEADCHNL_RA_PACING_PULSEWIDTH^MDC||100.0|ms||||F
OBX|232|NM|730049^MDC_IDC_SET_LEADCHNL_RV_PACING_PULSEWIDTH^MDC||200.0|ms||||F
OBX|233|NM|730051^MDC_IDC_SET_LEADCHNL_LV_PACING_PULSEWIDTH^MDC||300.0|ms||||F
OBX|234|CWE|730112^MDC_IDC_SET_LEADCHNL_RA_PACING_POLARITY^MDC||754305
^MDC_IDC_ENUM_POLARITY_UNI^MDC||||F
OBX|235|CWE|730113^MDC_IDC_SET_LEADCHNL_RV_PACING_POLARITY^MDC||754305
^MDC_IDC_ENUM_POLARITY_UNI^MDC||||F
OBX|236|CWE|730188^MDC_IDC_SET_LEADCHNL_LV_PACING_ANODE_LOCATION^MDC||754498
^MDC_IDC_ENUM_ELECTRODE_LOCATION_RV^MDC||||F
OBX|237|CWE|730252^MDC_IDC_SET_LEADCHNL_LV_PACING_ANODE_ELECTRODE^MDC||754564
^MDC_IDC_ENUM_ELECTRODE_NAME_Ring2^MDC||||F
OBX|238|CWE|730316^MDC_IDC_SET_LEADCHNL_LV_PACING_CATHODE_LOCATION^MDC||754500
^MDC_IDC_ENUM_ELECTRODE_LOCATION_LV^MDC||||F
OBX|239|CWE|730380^MDC_IDC_SET_LEADCHNL_LV_PACING_CATHODE_ELECTRODE^MDC||754566
^MDC_IDC_ENUM_ELECTRODE_NAME_Ring4^MDC||||F
OBX|240|CWE|730432^MDC_IDC_SET_LEADCHNL_RA_PACING_CAPTURE_MODE^MDC||754690
^MDC_IDC_ENUM_PACING_CAPTURE_MODE_FixedPacing^MDC||||F
OBX|241|CWE|730433^MDC_IDC_SET_LEADCHNL_RV_PACING_CAPTURE_MODE^MDC||754691
^MDC_IDC_ENUM_PACING_CAPTURE_MODE_MonitorCapture^MDC||||F
OBX|242|CWE|730435^MDC_IDC_SET_LEADCHNL_LV_PACING_CAPTURE_MODE^MDC||754690
^MDC_IDC_ENUM_PACING_CAPTURE_MODE_FixedPacing^MDC||||F
OBX|243|CWE|730752^MDC_IDC_SET_BRADY_MODE^MDC||754760^MDC_IDC_ENUM_BRADY_MODE_DDD
^MDC||||F
OBX|244|NM|730880^MDC_IDC_SET_BRADY_LOWRATE^MDC||100|{beats}/min||||F
OBX|245|ST|731072^MDC_IDC_SET_BRADY_SENSOR_TYPE^MDC||Akzelerometer + AMV||||F
OBX|246|NM|731136^MDC_IDC_SET_BRADY_MAX_TRACKING_RATE^MDC||130|{beats}/min||||F
OBX|247|NM|731200^MDC_IDC_SET_BRADY_MAX_SENSOR_RATE^MDC||180|{beats}/min||||F
OBX|248|NM|731265^MDC_IDC_SET_BRADY_SAV_DELAY_HIGH^MDC||102|ms||||F
OBX|249|NM|731266^MDC_IDC_SET_BRADY_SAV_DELAY_LOW^MDC||101|ms||||F
OBX|250|NM|731329^MDC_IDC_SET_BRADY_PAV_DELAY_HIGH^MDC||104|ms||||F
OBX|251|NM|731330^MDC_IDC_SET_BRADY_PAV_DELAY_LOW^MDC||103|ms||||F
OBX|252|CWE|731392^MDC_IDC_SET_BRADY_AT_MODE_SWITCH_MODE^MDC||754763
^MDC_IDC_ENUM_BRADY_MODE_DDIR^MDC||||F
OBX|253|NM|731456^MDC_IDC_SET_BRADY_AT_MODE_SWITCH_RATE^MDC||130|{beats}/min||||F
OBX|254|CWE|731520^MDC_IDC_SET_TACHYTHERAPY_VSTAT^MDC||754817
^MDC_IDC_ENUM_THERAPY_STATUS_On^MDC||||F
OBX|255|CWE|731648^MDC_IDC_SET_ZONE_TYPE^MDC|1|754945^MDC_IDC_ENUM_ZONE_TYPE_Zone_VF
^MDC||||F
OBX|256|CWE|731712^MDC_IDC_SET_ZONE_VENDOR_TYPE^MDC|1|771139
^MDC_IDC_ENUM_ZONE_VENDOR_TYPE_BSX-Zone_VF^MDC||||F

```

OBX|257|CWE|731776^MDC_IDC_SET_ZONE_STATUS^MDC|1|755009
^MDC_IDC_ENUM_ZONE_STATUS_Active^MDC|||||F
OBX|258|NM|731840^MDC_IDC_SET_ZONE_DETECTION_INTERVAL^MDC|1|462|ms|||||F
OBX|259|CWE|732097^MDC_IDC_SET_ZONE_TYPE_ATP_1^MDC|1|755073
^MDC_IDC_ENUM_ATP_TYPE_Burst^MDC|||||F
OBX|260|NM|732161^MDC_IDC_SET_ZONE_NUM_ATP_SEQS_1^MDC|1|1|||||F
OBX|261|NM|732225^MDC_IDC_SET_ZONE_SHOCK_ENERGY_1^MDC|1|21.1|J|||||F
OBX|262|NM|732289^MDC_IDC_SET_ZONE_NUM_SHOCKS_1^MDC|1|1|||||F
OBX|263|NM|732226^MDC_IDC_SET_ZONE_SHOCK_ENERGY_2^MDC|1|31.1|J|||||F
OBX|264|NM|732290^MDC_IDC_SET_ZONE_NUM_SHOCKS_2^MDC|1|1|||||F
OBX|265|NM|732227^MDC_IDC_SET_ZONE_SHOCK_ENERGY_3^MDC|1|41.1|J|||||F
OBX|266|NM|732291^MDC_IDC_SET_ZONE_NUM_SHOCKS_3^MDC|1|6|||||F
OBX|267|CWE|731648^MDC_IDC_SET_ZONE_TYPE^MDC|2|754946^MDC_IDC_ENUM_ZONE_TYPE_Zone_VT
^MDC|||||F
OBX|268|CWE|731712^MDC_IDC_SET_ZONE_VENDOR_TYPE^MDC|2|771137
^MDC_IDC_ENUM_ZONE_VENDOR_TYPE_BSX-Zone_VT^MDC|||||F
OBX|269|CWE|731776^MDC_IDC_SET_ZONE_STATUS^MDC|2|755009
^MDC_IDC_ENUM_ZONE_STATUS_Active^MDC|||||F
OBX|270|NM|731840^MDC_IDC_SET_ZONE_DETECTION_INTERVAL^MDC|2|463|ms|||||F
OBX|271|CWE|732097^MDC_IDC_SET_ZONE_TYPE_ATP_1^MDC|2|755073
^MDC_IDC_ENUM_ATP_TYPE_Burst^MDC|||||F
OBX|272|NM|732161^MDC_IDC_SET_ZONE_NUM_ATP_SEQS_1^MDC|2|2|||||F
OBX|273|CWE|732098^MDC_IDC_SET_ZONE_TYPE_ATP_2^MDC|2|755074
^MDC_IDC_ENUM_ATP_TYPE_Ramp^MDC|||||F
OBX|274|NM|732162^MDC_IDC_SET_ZONE_NUM_ATP_SEQS_2^MDC|2|3|||||F
OBX|275|NM|732225^MDC_IDC_SET_ZONE_SHOCK_ENERGY_1^MDC|2|22.2|J|||||F
OBX|276|NM|732289^MDC_IDC_SET_ZONE_NUM_SHOCKS_1^MDC|2|1|||||F
OBX|277|NM|732226^MDC_IDC_SET_ZONE_SHOCK_ENERGY_2^MDC|2|32.2|J|||||F
OBX|278|NM|732290^MDC_IDC_SET_ZONE_NUM_SHOCKS_2^MDC|2|1|||||F
OBX|279|NM|732227^MDC_IDC_SET_ZONE_SHOCK_ENERGY_3^MDC|2|42.2|J|||||F
OBX|280|NM|732291^MDC_IDC_SET_ZONE_NUM_SHOCKS_3^MDC|2|3|||||F
OBX|281|CWE|731648^MDC_IDC_SET_ZONE_TYPE^MDC|3|754946^MDC_IDC_ENUM_ZONE_TYPE_Zone_VT
^MDC|||||F
OBX|282|CWE|731712^MDC_IDC_SET_ZONE_VENDOR_TYPE^MDC|3|771138
^MDC_IDC_ENUM_ZONE_VENDOR_TYPE_BSX-Zone_VT-1^MDC|||||F
OBX|283|CWE|731776^MDC_IDC_SET_ZONE_STATUS^MDC|3|755009
^MDC_IDC_ENUM_ZONE_STATUS_Active^MDC|||||F
OBX|284|NM|731840^MDC_IDC_SET_ZONE_DETECTION_INTERVAL^MDC|3|465|ms|||||F
OBX|285|CWE|732097^MDC_IDC_SET_ZONE_TYPE_ATP_1^MDC|3|755074
^MDC_IDC_ENUM_ATP_TYPE_Ramp^MDC|||||F
OBX|286|NM|732161^MDC_IDC_SET_ZONE_NUM_ATP_SEQS_1^MDC|3|4|||||F
OBX|287|CWE|732098^MDC_IDC_SET_ZONE_TYPE_ATP_2^MDC|3|755076
^MDC_IDC_ENUM_ATP_TYPE_RampScan^MDC|||||F
OBX|288|NM|732162^MDC_IDC_SET_ZONE_NUM_ATP_SEQS_2^MDC|3|5|||||F
OBX|289|NM|732225^MDC_IDC_SET_ZONE_SHOCK_ENERGY_1^MDC|3|23.2|J|||||F
OBX|290|NM|732289^MDC_IDC_SET_ZONE_NUM_SHOCKS_1^MDC|3|1|||||F
OBX|291|NM|732226^MDC_IDC_SET_ZONE_SHOCK_ENERGY_2^MDC|3|33.2|J|||||F
OBX|292|NM|732290^MDC_IDC_SET_ZONE_NUM_SHOCKS_2^MDC|3|1|||||F
OBX|293|NM|732227^MDC_IDC_SET_ZONE_SHOCK_ENERGY_3^MDC|3|43.2|J|||||F
OBX|294|NM|732291^MDC_IDC_SET_ZONE_NUM_SHOCKS_3^MDC|3|2|||||F
OBX|295|DTM|737489^MDC_IDC_STAT_DTM_START^MDC||20120522|||||F
OBX|296|DTM|737490^MDC_IDC_STAT_DTM_END^MDC||20120522|||||F
OBX|297|DTM|737505^MDC_IDC_STAT_BRADY_DTM_START^MDC||20120522|||||F
OBX|298|DTM|737506^MDC_IDC_STAT_BRADY_DTM_END^MDC||20120522|||||F
OBX|299|NM|737520^MDC_IDC_STAT_BRADY_RA_PERCENT_PACED^MDC||0%|||||F
OBX|300|NM|737536^MDC_IDC_STAT_BRADY_RV_PERCENT_PACED^MDC||0%|||||F
OBX|301|DTM|737777^MDC_IDC_STAT_CRT_DTM_START^MDC||20120522|||||F
OBX|302|DTM|737778^MDC_IDC_STAT_CRT_DTM_END^MDC||20120522|||||F
OBX|303|NM|737792^MDC_IDC_STAT_CRT_LV_PERCENT_PACED^MDC||0%|||||F

```



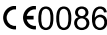
OBX|304|CWE|737952^MDC_IDC_STAT_EPISODE_TYPE^MDC|1|754882
^MDC_IDC_ENUM_EPISODE_TYPE_Epis_VT^MDC|||||F
OBX|305|CWE|737984^MDC_IDC_STAT_EPISODE_VENDOR_TYPE^MDC|1|771077
^MDC_IDC_ENUM_EPISODE_VENDOR_TYPE_BSX-Epis_NSVT^MDC|||||F
OBX|306|NM|738000^MDC_IDC_STAT_EPISODE_RECENT_COUNT^MDC|1|0|||||F
OBX|307|DTM|738017^MDC_IDC_STAT_EPISODE_RECENT_COUNT_DTM_START^MDC|1|20120522|||||F
OBX|308|DTM|738018^MDC_IDC_STAT_EPISODE_RECENT_COUNT_DTM_END^MDC|1|20120522|||||F
OBX|309|CWE|737952^MDC_IDC_STAT_EPISODE_TYPE^MDC|1|754882
^MDC_IDC_ENUM_EPISODE_TYPE_Epis_VT^MDC|||||F
OBX|310|CWE|737984^MDC_IDC_STAT_EPISODE_VENDOR_TYPE^MDC|1|||||F
OBX|311|NM|738000^MDC_IDC_STAT_EPISODE_RECENT_COUNT^MDC|1|0|||||F
OBX|312|DTM|738017^MDC_IDC_STAT_EPISODE_RECENT_COUNT_DTM_START^MDC|1|20120522|||||F
OBX|313|DTM|738018^MDC_IDC_STAT_EPISODE_RECENT_COUNT_DTM_END^MDC|1|20120522|||||F
OBX|314|CWE|737952^MDC_IDC_STAT_EPISODE_TYPE^MDC|2|754884
^MDC_IDC_ENUM_EPISODE_TYPE_Epis_SVT^MDC|||||F
OBX|315|CWE|737984^MDC_IDC_STAT_EPISODE_VENDOR_TYPE^MDC|2|771076
^MDC_IDC_ENUM_EPISODE_VENDOR_TYPE_BSX-Epis_SVT^MDC|||||F
OBX|316|NM|738000^MDC_IDC_STAT_EPISODE_RECENT_COUNT^MDC|2|0|||||F
OBX|317|DTM|738017^MDC_IDC_STAT_EPISODE_RECENT_COUNT_DTM_START^MDC|2|20120522|||||F
OBX|318|DTM|738018^MDC_IDC_STAT_EPISODE_RECENT_COUNT_DTM_END^MDC|2|20120522|||||F
OBX|319|CWE|737952^MDC_IDC_STAT_EPISODE_TYPE^MDC|4|754883
^MDC_IDC_ENUM_EPISODE_TYPE_Epis_ATAF^MDC|||||F
OBX|320|CWE|737984^MDC_IDC_STAT_EPISODE_VENDOR_TYPE^MDC|4|771078
^MDC_IDC_ENUM_EPISODE_VENDOR_TYPE_BSX-Epis_ATR^MDC|||||F
OBX|321|NM|738000^MDC_IDC_STAT_EPISODE_RECENT_COUNT^MDC|4|0|||||F
OBX|322|DTM|738017^MDC_IDC_STAT_EPISODE_RECENT_COUNT_DTM_START^MDC|4|20120522|||||F
OBX|323|DTM|738018^MDC_IDC_STAT_EPISODE_RECENT_COUNT_DTM_END^MDC|4|20120522|||||F
OBX|324|CWE|737952^MDC_IDC_STAT_EPISODE_TYPE^MDC|5|754888
^MDC_IDC_ENUM_EPISODE_TYPE_Epis_Other^MDC|||||F
OBX|325|CWE|737984^MDC_IDC_STAT_EPISODE_VENDOR_TYPE^MDC|5||||||F
OBX|326|NM|738000^MDC_IDC_STAT_EPISODE_RECENT_COUNT^MDC|5|0|||||F
OBX|327|DTM|738017^MDC_IDC_STAT_EPISODE_RECENT_COUNT_DTM_START^MDC|5|20120522|||||F
OBX|328|DTM|738018^MDC_IDC_STAT_EPISODE_RECENT_COUNT_DTM_END^MDC|5|20120522|||||F
OBX|329|CWE|737952^MDC_IDC_STAT_EPISODE_TYPE^MDC|6|754881
^MDC_IDC_ENUM_EPISODE_TYPE_Epis_VF^MDC|||||F
OBX|330|CWE|737984^MDC_IDC_STAT_EPISODE_VENDOR_TYPE^MDC|6|771073
^MDC_IDC_ENUM_EPISODE_VENDOR_TYPE_BSX-Epis_VF^MDC|||||F
OBX|331|NM|738000^MDC_IDC_STAT_EPISODE_RECENT_COUNT^MDC|6|1|||||F
OBX|332|DTM|738017^MDC_IDC_STAT_EPISODE_RECENT_COUNT_DTM_START^MDC|6|20120522|||||F
OBX|333|DTM|738018^MDC_IDC_STAT_EPISODE_RECENT_COUNT_DTM_END^MDC|6|20120522|||||F
OBX|334|CWE|737952^MDC_IDC_STAT_EPISODE_TYPE^MDC|7|754882
^MDC_IDC_ENUM_EPISODE_TYPE_Epis_VT^MDC|||||F
OBX|335|CWE|737984^MDC_IDC_STAT_EPISODE_VENDOR_TYPE^MDC|7|771074
^MDC_IDC_ENUM_EPISODE_VENDOR_TYPE_BSX-Epis_VT^MDC|||||F
OBX|336|NM|738000^MDC_IDC_STAT_EPISODE_RECENT_COUNT^MDC|7|2|||||F
OBX|337|DTM|738017^MDC_IDC_STAT_EPISODE_RECENT_COUNT_DTM_START^MDC|7|20120522|||||F
OBX|338|DTM|738018^MDC_IDC_STAT_EPISODE_RECENT_COUNT_DTM_END^MDC|7|20120522|||||F
OBX|339|CWE|737952^MDC_IDC_STAT_EPISODE_TYPE^MDC|8|754882
^MDC_IDC_ENUM_EPISODE_TYPE_Epis_VT^MDC|||||F
OBX|340|CWE|737984^MDC_IDC_STAT_EPISODE_VENDOR_TYPE^MDC|8|771075
^MDC_IDC_ENUM_EPISODE_VENDOR_TYPE_BSX-Epis_VT-1^MDC|||||F
OBX|341|NM|738000^MDC_IDC_STAT_EPISODE_RECENT_COUNT^MDC|8|3|||||F
OBX|342|DTM|738017^MDC_IDC_STAT_EPISODE_RECENT_COUNT_DTM_START^MDC|8|20120522|||||F
OBX|343|DTM|738018^MDC_IDC_STAT_EPISODE_RECENT_COUNT_DTM_END^MDC|8|20120522|||||F
OBX|344|CWE|737952^MDC_IDC_STAT_EPISODE_TYPE^MDC|9|754884
^MDC_IDC_ENUM_EPISODE_TYPE_Epis_Monitor^MDC|||||F
OBX|345|CWE|737984^MDC_IDC_STAT_EPISODE_VENDOR_TYPE^MDC|9||||||F
OBX|346|NM|738000^MDC_IDC_STAT_EPISODE_RECENT_COUNT^MDC|9|4|||||F
OBX|347|DTM|738017^MDC_IDC_STAT_EPISODE_RECENT_COUNT_DTM_START^MDC|9|20120522|||||F

OBX|348|DTM|738018^MDC_IDC_STAT_EPISODE_RECENT_COUNT_DTM_END^MDC|9|20120522|||||F

Outdated version. Do not use.
Version überholt. Nicht verwenden.
Version obsolète. Ne pas utiliser.
Versión obsoleta. No utilizar.
Versione obsoleta. Non utilizzare.
Verouderde versie. Niet gebruiken.
Föråldrad version. Använd ej.
Παλιά έκδοση. Μην την χρησιμοποιείτε.
Versão obsoleta. Não utilize.
Forældet version. Må ikke anvendes.
Zastaralá verzia. Nepoužívať.
Utdatert versjon. Skal ikke brukes.
Zastaraná verzia. Nepoužívať.
Elavult verzió. Ne használja!
Wersja nieaktualna. Nie używać.

VERWENDETE SYMBOLE AUF ETIKETTEN

ANHANG A

Symbol	Bedeutung
	Hersteller
	Autorisierter Repräsentant in der Europäischen Gemeinschaft
	CE-Konformitätszeichen mit Angabe der Zertifizierungsstelle, die den Gebrauch des Kennzeichens zulässt

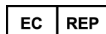
Outdated version. Do not use.
 Version überholt. Nicht verwenden.
 Version obsolete. Ne pas utiliser.
 Versión obsoleta. No utilizar.
 Versiões obsoletas. Não utilize.
 Verouderde versie. Niet gebruiken.
 Föråldrad version. Använd ej.
 Παλιά έκδοση. Μην την χρησιμοποιείτε.
 Versão obsoleta. Não utilize.
 Forældet version. Må ikke anvendes.
 Zastaralá verze. Nepoužívat.
 Utdatert versjon. Skal ikke brukes.
 Zastaraná verzia. Nepoužívať.
 Elavult verzió. Ne használja!
 Wersja nieaktualna. Nie używać.

Outdated version. Do not use.
Version überholt. Nicht verwenden.
Version obsolète. Ne pas utiliser.
Versión obsoleta. No utilizar.
Versione obsoleta. Non utilizzare.
Verouderde versie. Niet gebruiken.
Föråldrad version. Använd ej.
Παλιά έκδοση. Μην την χρησιμοποιείτε.
Versão obsoleta. Não utilize.
Forældet version. Må ikke anvendes.
Zastaralá verze. Nepoužívat.
Utdatert versjon. Skal ikke brukes.
Zastaraná verzia. Nepoužívať.
Elavult verzió. Ne használja!
Wersja nieaktualna. Nie używać.

Outdated version. Do not use.
Version überholt. Nicht verwenden.
Version obsolète. Ne pas utiliser.
Versión obsoleta. No utilizar.
Versione obsoleta. Non utilizzate.
Verouderde versie. Niet gebruiken.
Föråldrad version. Använd ej.
Παλιά έκδοση. Μην την χρησιμοποιείτε.
Versão obsoleta. Não utilize.
Forældet version. Må ikke anvendes.
Zastaralá verze. Nepoužívat.
Utdatert versjon. Skal ikke brukes.
Zastaraná verzia. Nepoužívať.
Elavult verzió. Ne használja!
Wersja nieaktualna. Nie używać.



Boston Scientific Corporation
4100 Hamline Avenue North
St. Paul, MN 55112-5798 USA



Guidant Europe NV/SA; Boston Scientific
Green Square, Lambroekstraat 5D
1831 Diegem, Belgium

www.bostonscientific.com

1.800.CARDIAC (227.3422)

+1.651.582.4000

© 2015 Boston Scientific Corporation or its affiliates.

All rights reserved.

359273-022 DE Europe 2015-02

Outdated version. Do not use.
Version überholt. Nicht verwenden.
Version obsolète. Ne pas utiliser.
Versión obsoleta. No utilizar.
Versione obsoleta. Non utilizzate.
Verouderde versie. Niet gebruiken.
Föråldrad version. Använd ej.
Παλιά έκδοση. Μην την χρησιμοποιείτε.
Versão obsoleta. Não utilize.
Forældet version. Må ikke anvendes.
Zastaralá verzia. Nepoužívať.
Utdatert versjon. Skal ikke brukes.
Zastaraná verzia. Nepoužívať.
Elavult verzió. Ne használja!
Wersja nieaktualna. Nie używać.

C E0086

